

第5章 模拟调制系统

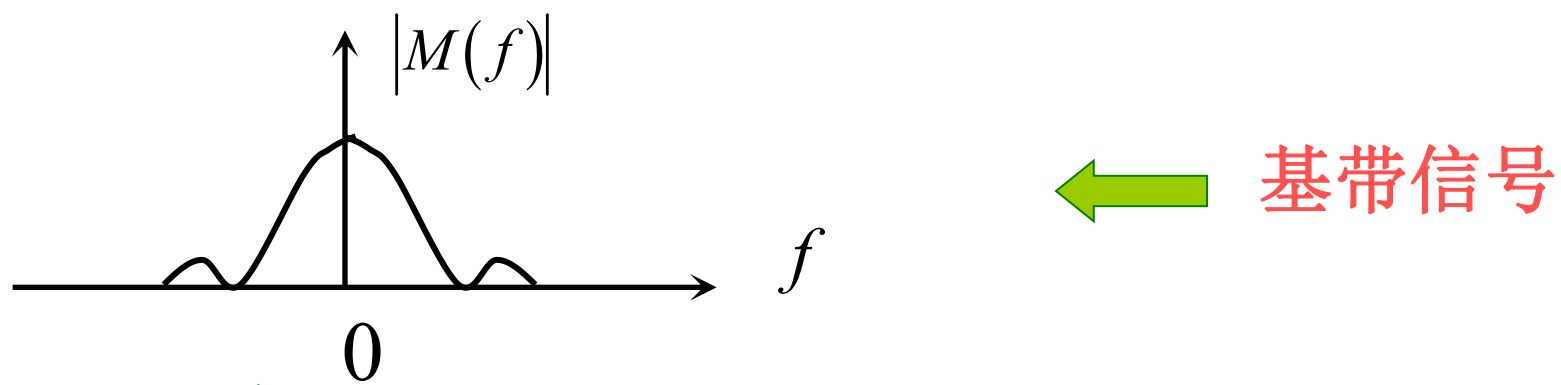
核心内容----模拟信号的调制、解调

<-- 5.1 幅度调制（线性调制）的原理 -->

5.2 角度调制（非线性调制）原理

5.3 各种模拟调制系统的比较

5.4 频分复用



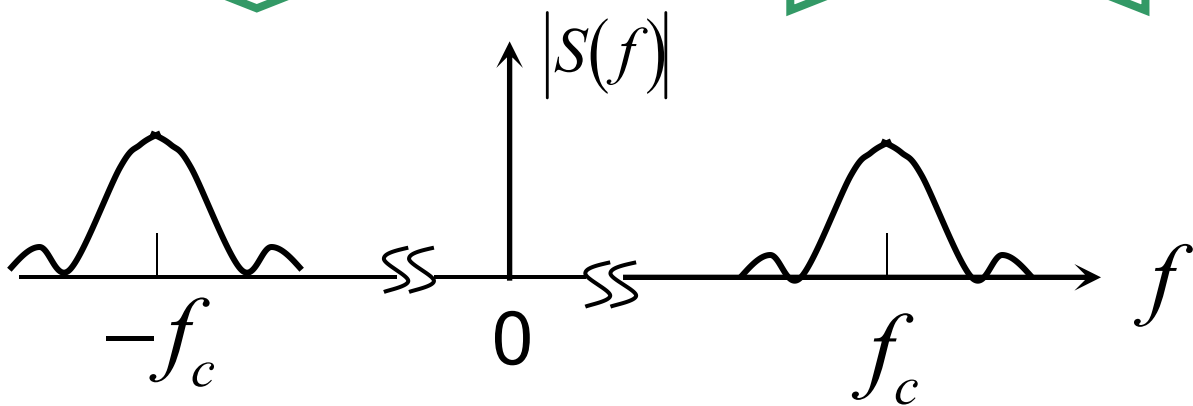
基带信号

调制——

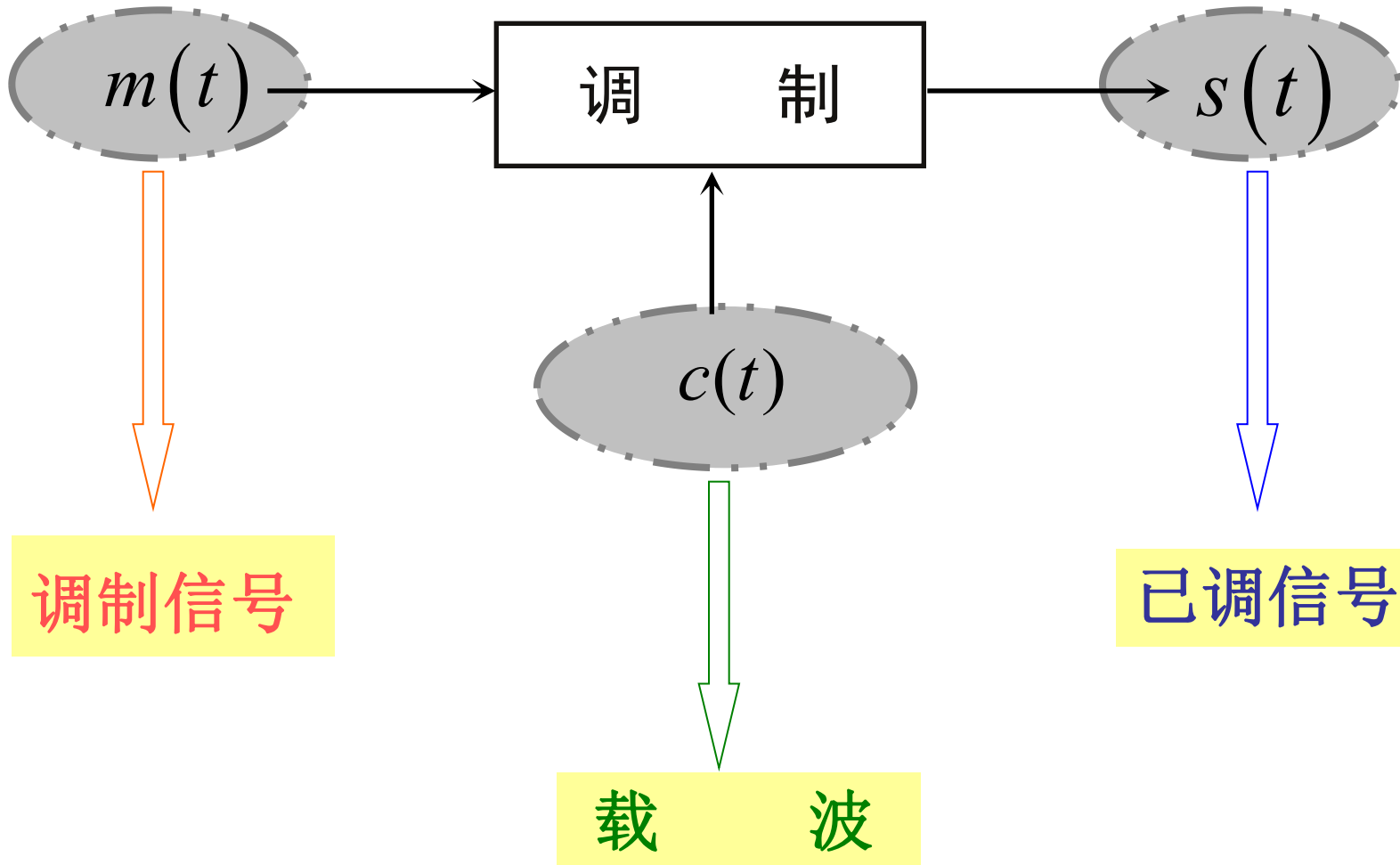
把携带信息的信号
嵌入到另一信号中

解调——

从另一信
号中还原
出携带信
息的信号



带通信号

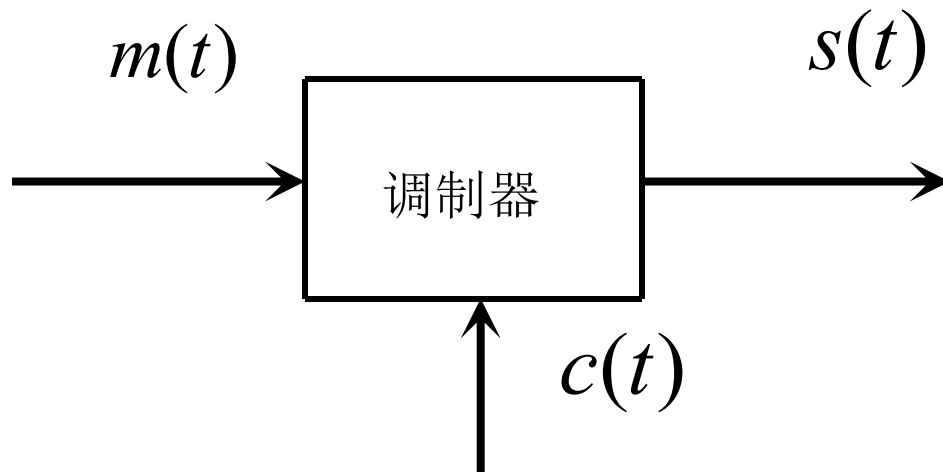


ω_C : 载波频率

调制和解调

★作用

- ✓ 搬移基带信号频谱
- ✓ 容易辐射
- ✓ 实现频率分配
- ✓ 实现多路复用
- ✓ 提高系统抗干扰能力



★ 分类

✓ 根据 $m(t)$ 的不同

模拟调制---以单音正弦波为代表

数字调制---以二进制数字脉冲为代表

✓ 根据 $c(t)$ 的不同

连续载波调制---以单频正弦波为代表

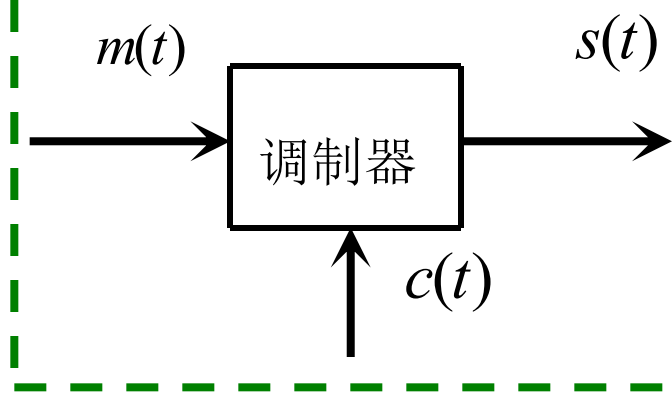
脉冲载波调制---以矩形周期脉冲为代表

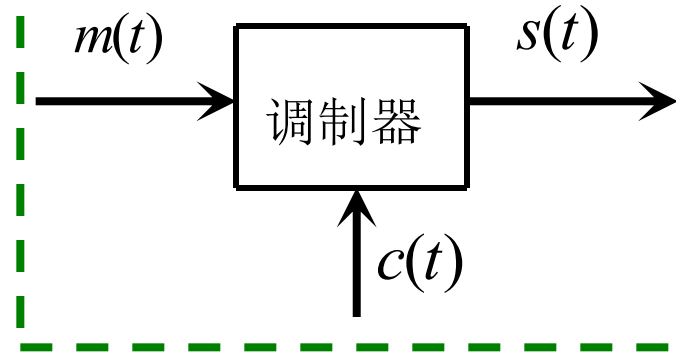
✓ 根据调制器的功能不同

幅度调制---如AM、PAM、OOK

频率调制---如FM、PFM、FSK

相位调制---如PM、PPM、PSK





✓ 根据频谱搬移特性的不同

线性调制---如AM、DSB-SC、SSB

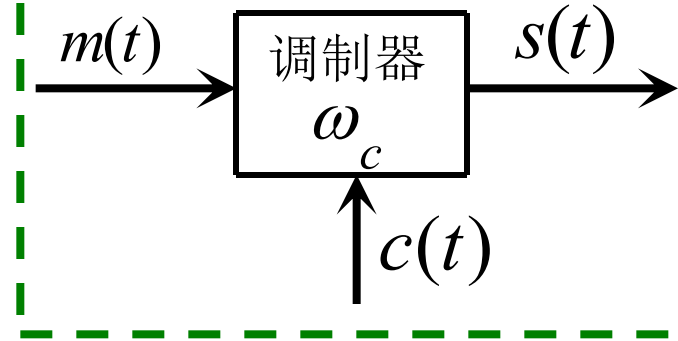
非线性调制---如PCM、FM、FSK

★ 参 数

- ✓ 发送功率
- ✓ 传输带宽
- ✓ 抗噪声性能
- ✓ 设备的复杂性

已调带通信号的复包络表达式:

$$s(t) = \operatorname{Re} \left\{ s_L(t) e^{j\omega_c t} \right\}$$



已调信号的频谱:

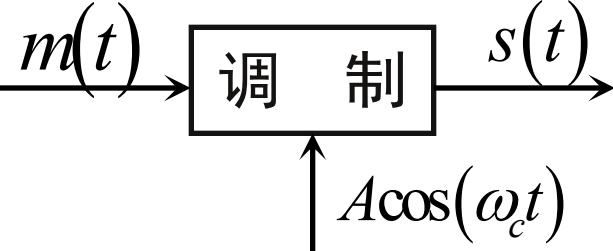
$$S(f) = \frac{1}{2} [S_L(f - f_c) + S_L^*(-f - f_c)]$$

已调信号的功率谱:

$$\mathfrak{R}_s(f) = \frac{1}{4} [\mathfrak{R}_{s_L}(f - f_c) + \mathfrak{R}_{s_L}(-f - f_c)]$$

5.1 幅度调制的原理

幅度调制----用信号去迫使高频载波 $m(t)$ 调 制 $s(t)$
瞬时幅度变化。



- ◆ 模拟常规调幅 (AM)
- ◆ 抑制载波双边带调幅 (DSB-SC)
- ◆ 单边带调幅 (SSB)

5.1.1 常规调幅AM

1. AM信号的时域分析

(1) 表达式

$$s_{AM}(t) = [A_0 + m(t)] \cos(2\pi f_c t)$$



直流偏量



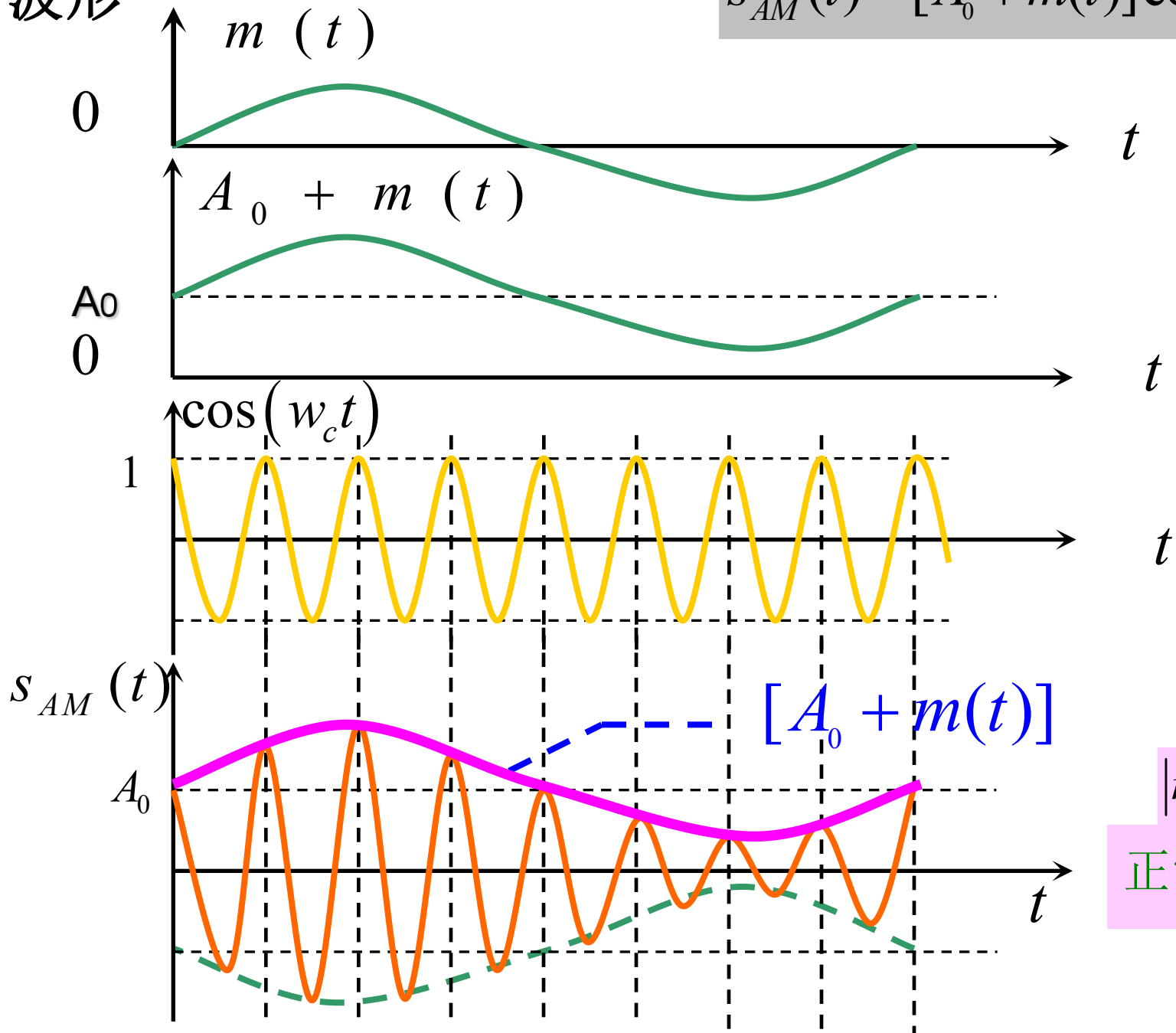
消息信号(调制信号)



确知信号或随机信号

(2) 波形

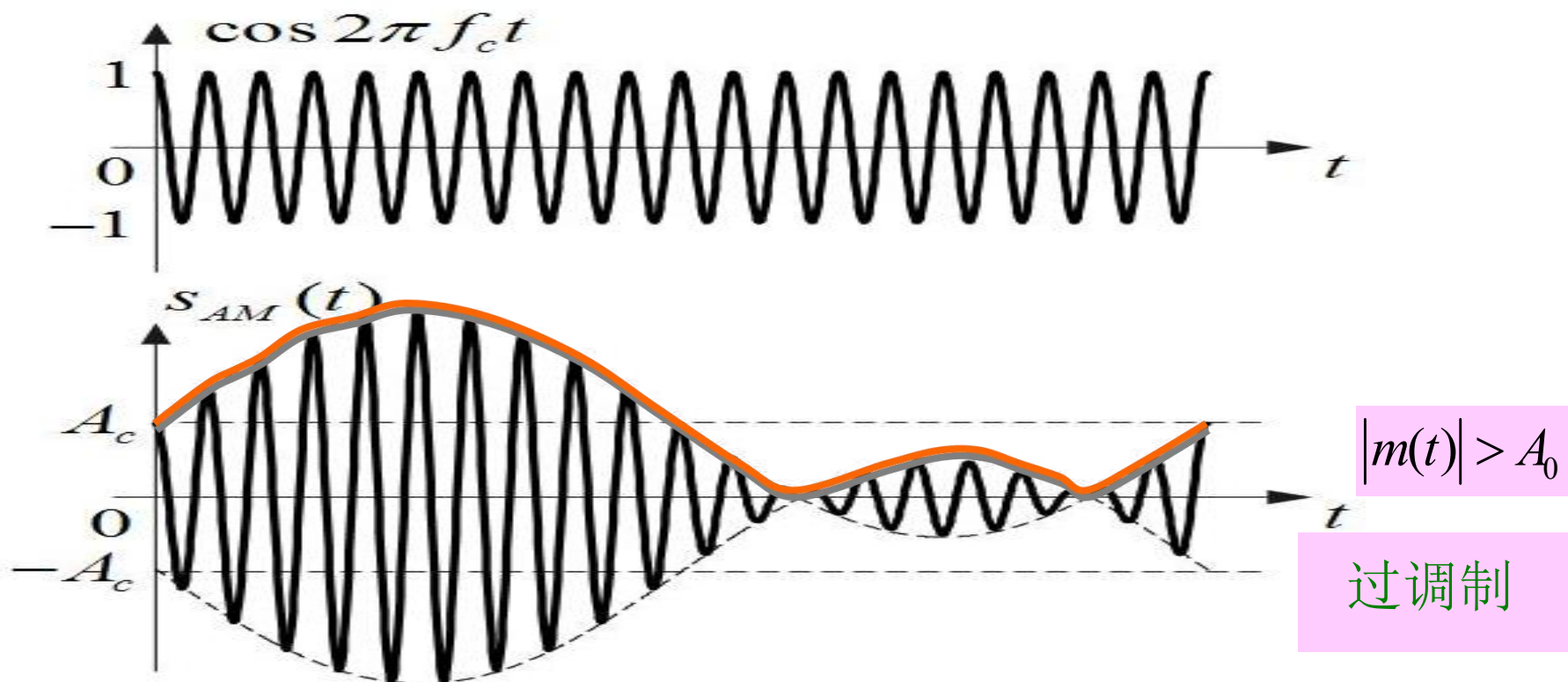
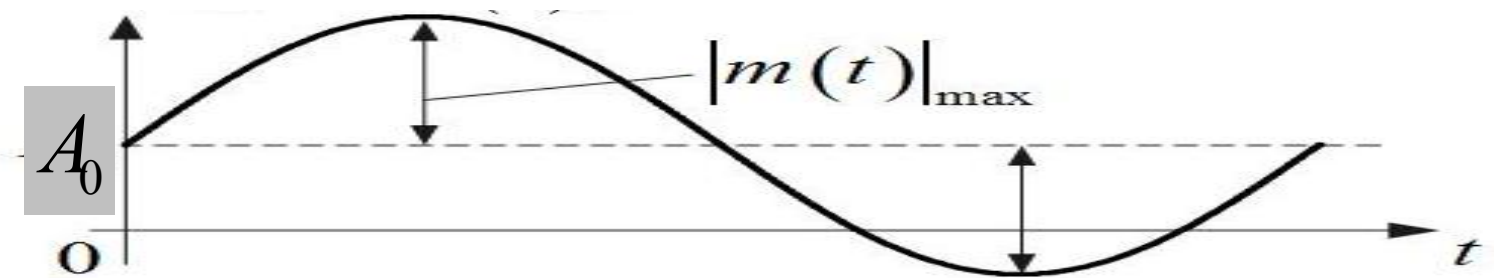
$$s_{AM}(t) = [A_0 + m(t)] \cos(\omega_c t)$$



$$|m(t)| \leq A_0$$

正常调制

$$s_{AM}(t) = [A_0 + m(t)] \cos(\omega t)$$

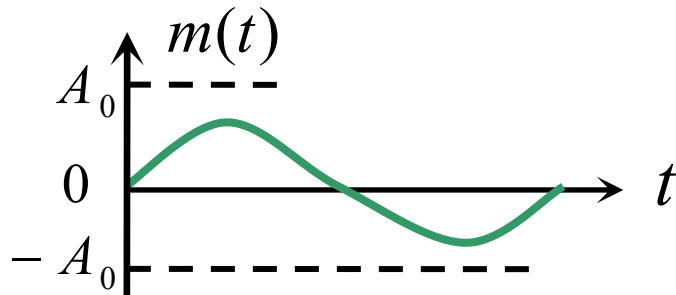


(3) 调幅指数

$$s_{AM}(t) = [A_0 + m(t)] \cos(\omega_c t)$$

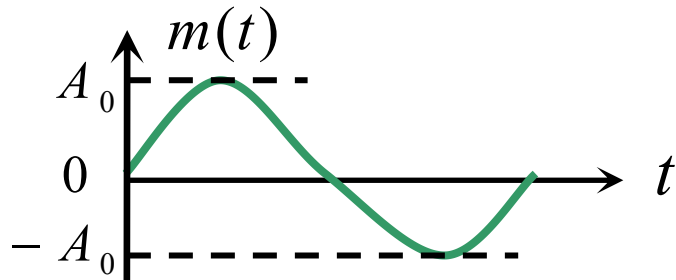
$$\beta_{AM} = \frac{|m(t)|_{\max}}{A_0}$$

$$\beta_{AM} < 1$$



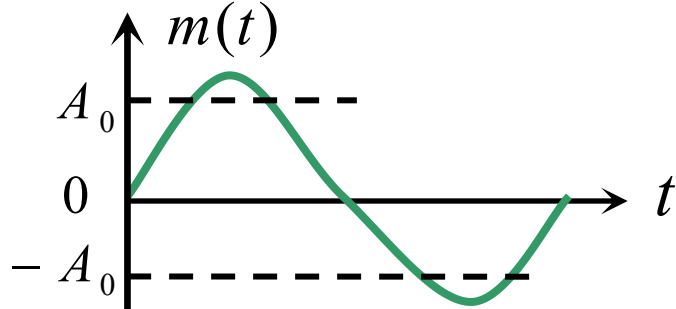
正常调制

$$\beta_{AM} = 1$$



临界调制

$$\beta_{AM} > 1$$



过调制

(4) 功率分配

$$s_{AM}(t) = [A_0 + m(t)] \cos(\omega_c t)$$

$$P_{AM} = \overline{s_{AM}^2(t)} = \overline{[A_0 + m(t)]^2 \cos^2(\omega_c t)}$$

$$= \overline{A_0^2 \cos^2(\omega_c t)} + \overline{m^2(t) \cos^2(\omega_c t)} + \overline{2A_0 m(t) \cos^2(\omega_c t)}$$

$$= A_0^2 \frac{1}{2} [1 + \cos(2\omega_c t)] + m^2(t) \frac{1}{2} [1 + \cos(2\omega_c t)] + \overline{A_0 m(t)} [1 + \cos(2\omega_c t)]$$

$$\approx \frac{A_0^2}{2} + \frac{\overline{m^2(t)}}{2} + A_0 \overline{m(t)} \quad \longleftrightarrow \quad \text{Often: } \overline{m(t)} = 0$$

$$= \underbrace{\frac{1}{2} A_0^2}_{\text{离散载波功率}} + \underbrace{\frac{1}{2} \overline{m^2(t)}}_{\text{边带功率}}$$

$$\overline{x(t)} = \lim_{T \rightarrow \infty} \frac{1}{2T} \int_{-T}^T x(t) dt$$

2. AM信号的频域分析

(1) 频谱或功率谱

$$\begin{aligned}s_{AM}(t) &= [A_0 + m(t)] \cos(2\pi f_c t) \\&= A_0 \cos(2\pi f_c t) + m(t) \cos(2\pi f_c t)\end{aligned}$$

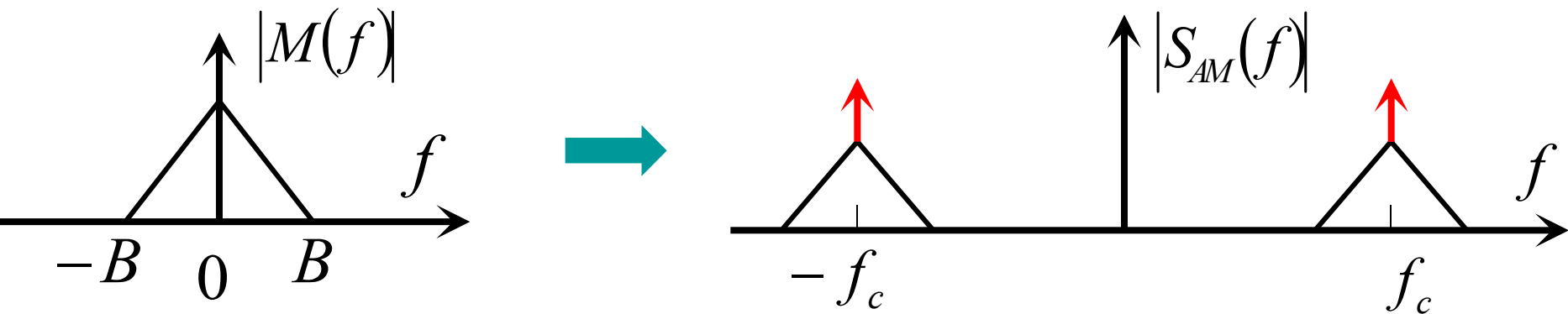
若 $m(t)$ 为 **确知** 信号，则频谱为：

$$S_{AM}(f) = \frac{A_0}{2} [\delta(f - f_c) + \delta(f + f_c)] + \frac{1}{2} [M(f - f_c) + M(f + f_c)]$$

若 $m(t)$ 为 **确知** 或 **随机** 信号，则 **功率谱** 为：

$$S_{AM}(f) = \frac{A_0^2}{4} [\delta(f - f_c) + \delta(f + f_c)] + \frac{1}{4} [P_m(f - f_c) + P_m(f + f_c)]$$

$$S_{AM}(f) = \frac{A_0}{2} [\delta(f - f_c) + \delta(f + f_c)] + \frac{1}{2} [M(f - f_c) + M(f + f_c)]$$



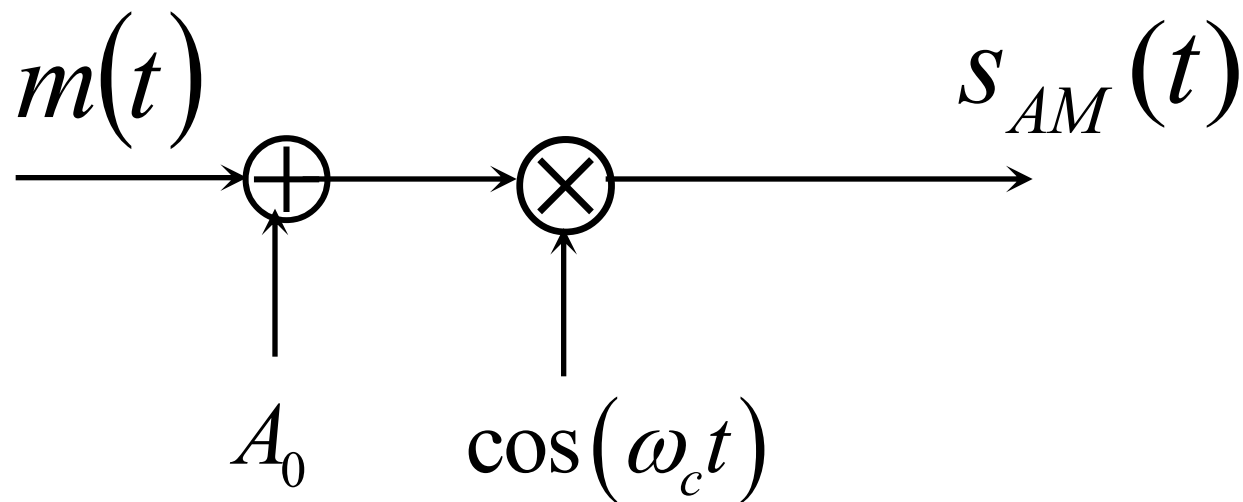
(2) 带宽

若调制信号的带宽为B，则对应的AM信号其带宽为：

$$B_{AM} = 2B$$

3. AM信号的产生和接收

(1) 产生

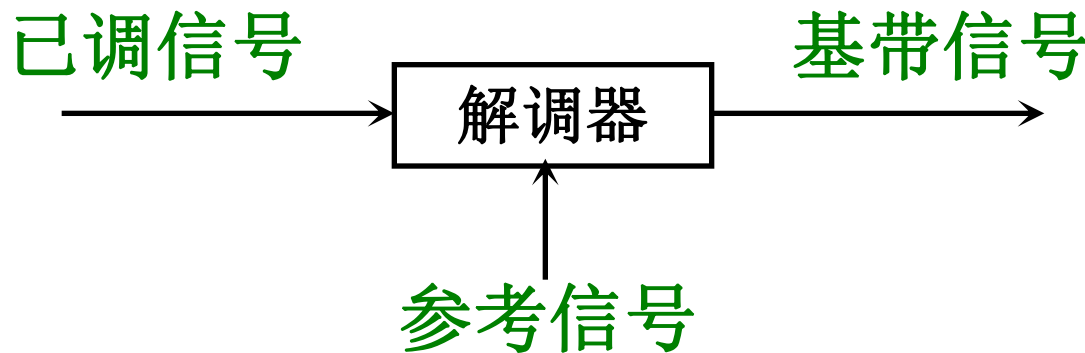


$$s_{AM}(t) = [A_0 + m(t)] \cos(\omega_c t)$$

(2) 接收

接收方式有如下两种：

相干解调 → 有2个输入



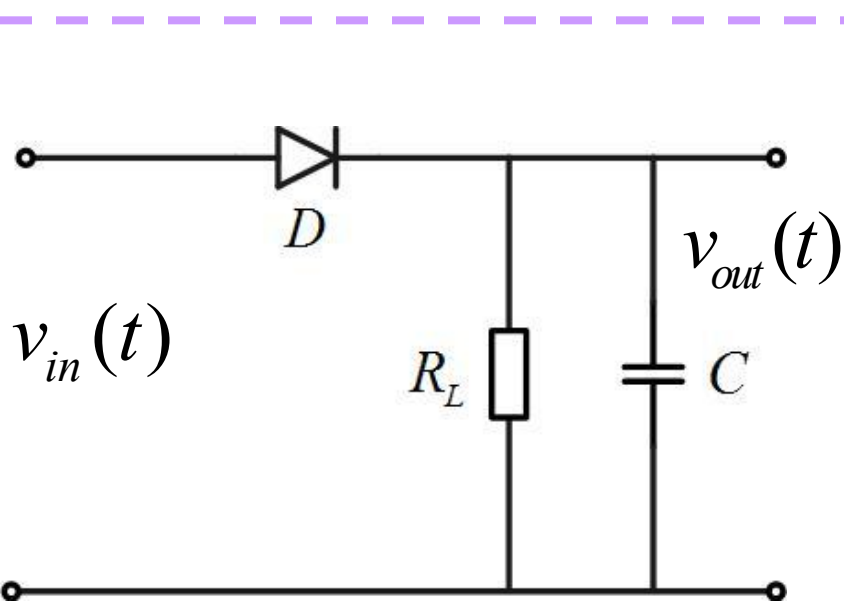
非相干解调 → 只有1个输入



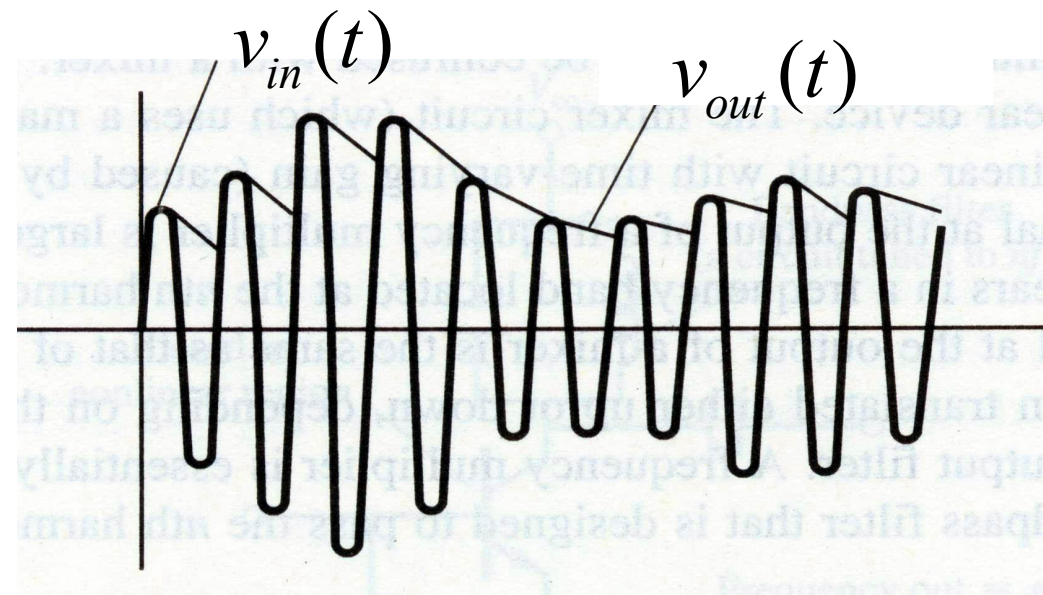
(2) 接收

√包络检波 (非相干解调)

(在 $\beta_{AM} < 1$ 时, 无失真恢复)



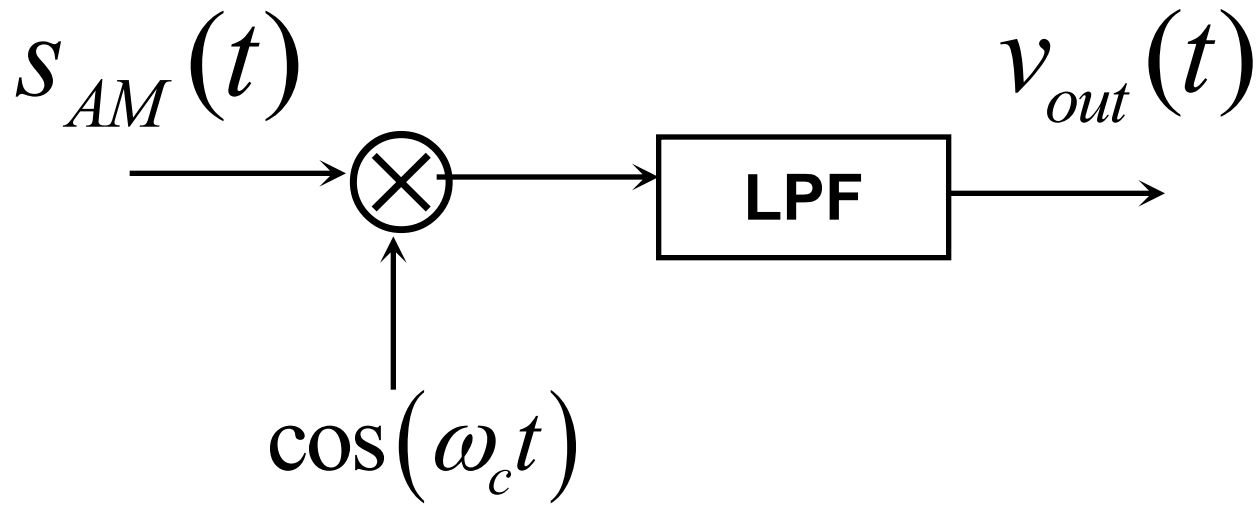
a. 检波电路



b. 输入输出波形

✓ 乘积检波 (相干解调)

(用于任何调幅指数调制的无失真恢复)



$$s_{AM}(t) = [A_0 + m(t)] \cos(\omega_c t)$$

5.1.2 抑制载波双边带调幅DSB-SC

1. DSB-SC信号的时域分析

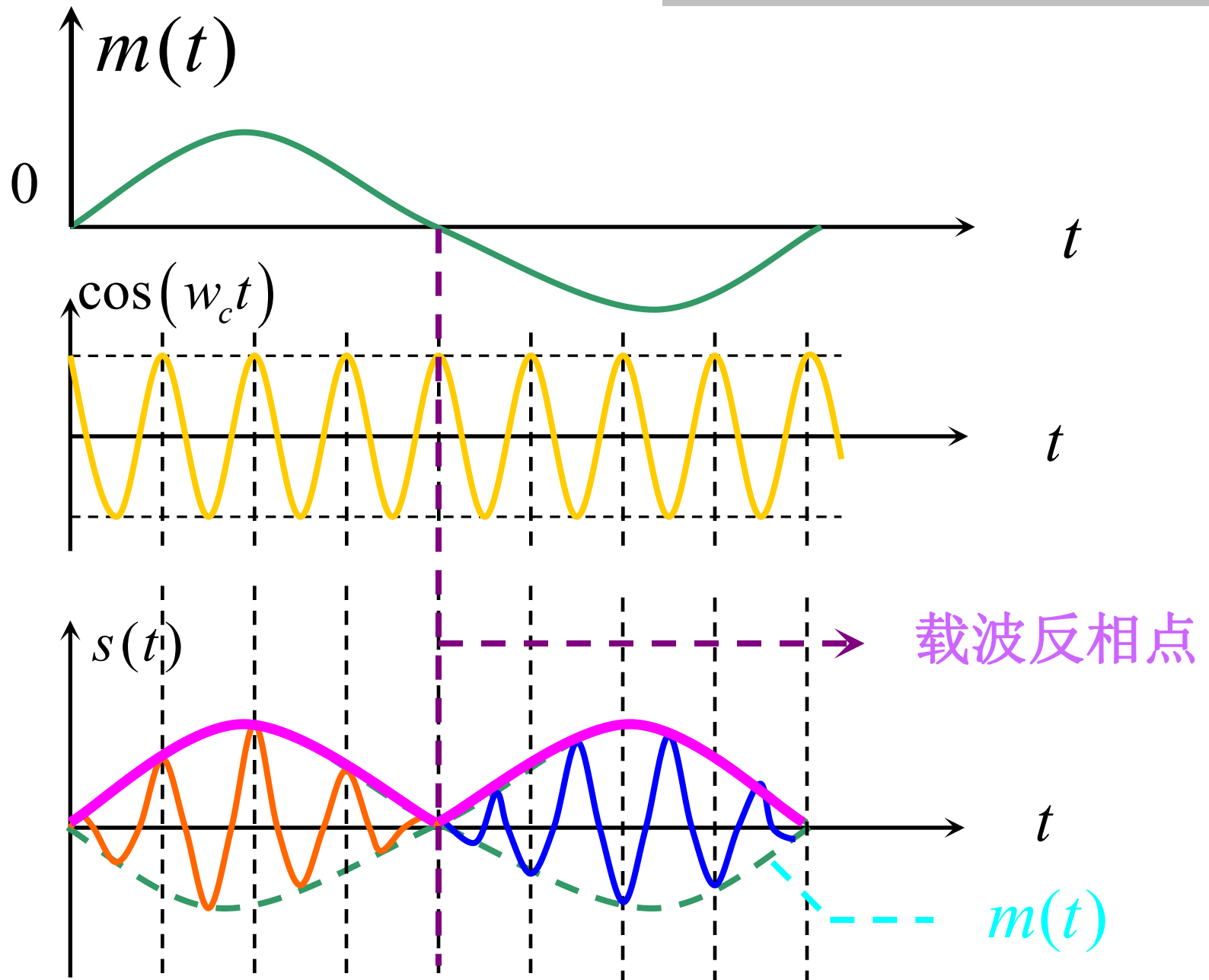
(1) 表达式

$$s_{DSB}(t) = m(t) \cos(2\pi f_c t)$$

消息信号

(2) 波形

$$s_{DSB}(t) = m(t) \cos(\omega_c t)$$



$$s_{DSB}(t) = m(t) \cos(2\pi f_c t)$$

(3) 功率分配

$$P_{DSB} = \overline{s_{DSB}^2(t)}$$

$$= \overline{m^2(t) \cos^2(2\pi f_c t)}$$

$$= \frac{1}{2} \cdot \overline{m^2(t)}$$

2. DSB-SC信号的频域分析

(1) 频谱或功率谱

$$s_{DSB}(t) = m(t) \cos(2\pi f_c t)$$

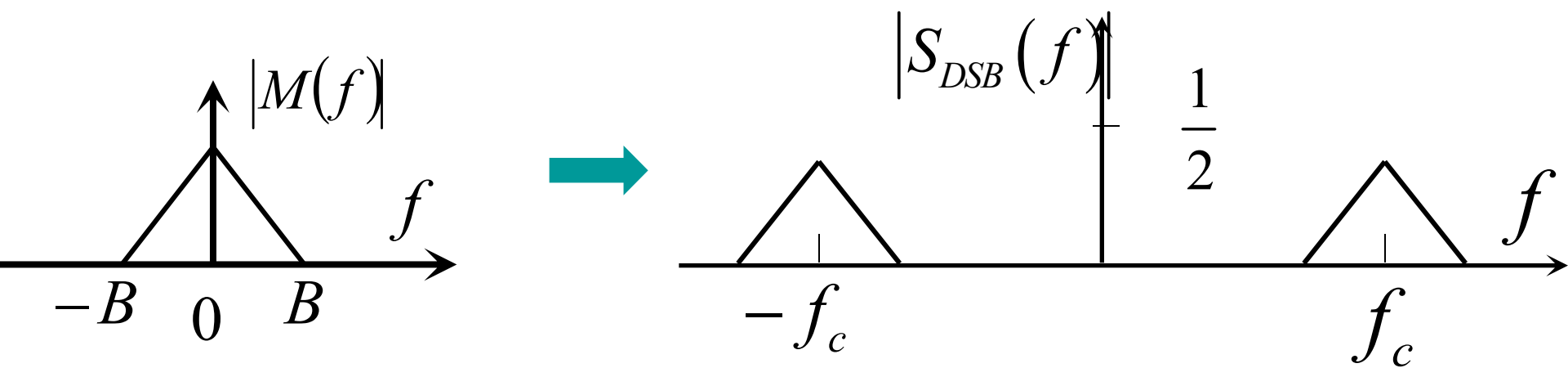
若 $m(t)$ 为**确知**信号，则**频谱**为：

$$S_{DSB}(f) = \frac{1}{2} [M(f + f_c) + M(f - f_c)]$$

若 $m(t)$ 为**确知**或**随机**信号，则**功率谱**为：

$$S_{DSB}(f) = \frac{1}{4} [P_m(f - f_c) + P_m(f + f_c)]$$

$$S_{DSB}(f) = \frac{1}{2} [M(f + f_c) + M(f - f_c)]$$



(2) 带宽

若调制信号带宽为 B ，则对应的DSB-SC信号其带宽为：

$$B_{DSB} = 2B$$

例：有DSB-SC信号为

$$s(t) = 5 \cos(300\pi t) \cos(2000\pi t)$$

试求：信号的功率谱、带宽、功率。

解：由DSB-SC信号的通用表达式

$$s_{DSB}(t) = m(t) \cos(2\pi f_c t)$$

其中：

$$m(t) = 5 \cos(2\pi f_m t), f_m = 150Hz, f_c = 1000Hz$$

$$m(t) = 5 \cos(2\pi f_m t), f_m = 150 \text{Hz}, f_c = 1000 \text{Hz}$$

调制信号的功率谱为：

$$\begin{aligned} P_m(f) &= \left(\frac{5}{2}\right)^2 [\delta(f + f_m) + \delta(f - f_m)] \\ &= \frac{25}{4} [\delta(f + 150) + \delta(f - 150)] \end{aligned}$$

DSB-SC信号的功率谱为：

$$P_{DSB-SC}(f) = \frac{1}{4} [P_m(f + f_c) + P_m(f - f_c)]$$

$$= \frac{25}{16} [\delta(f + 1150) + \delta(f + 850) + \delta(f - 850) + \delta(f - 1150)]$$

$$m(t) = 5 \cos(2\pi f_m t), f_m = 150Hz, f_c = 1000Hz$$

带宽: $B_{DSB-SC} = 2B_m = 300Hz$

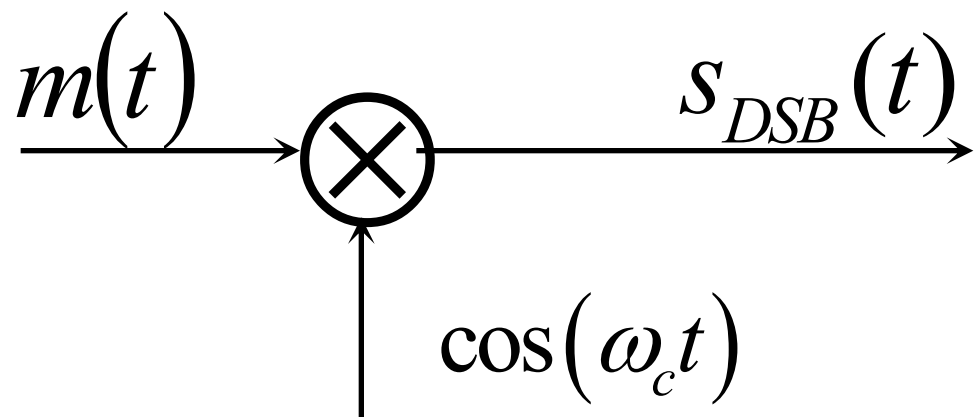
功率: $P_m = \frac{5^2}{2} = 12.5W$

$$P_{DSB-SC} = P_m / 2$$

$$= 12.5 / 2 = 6.25W$$

3. DSB-SC信号的产生和接收

(1) 产生



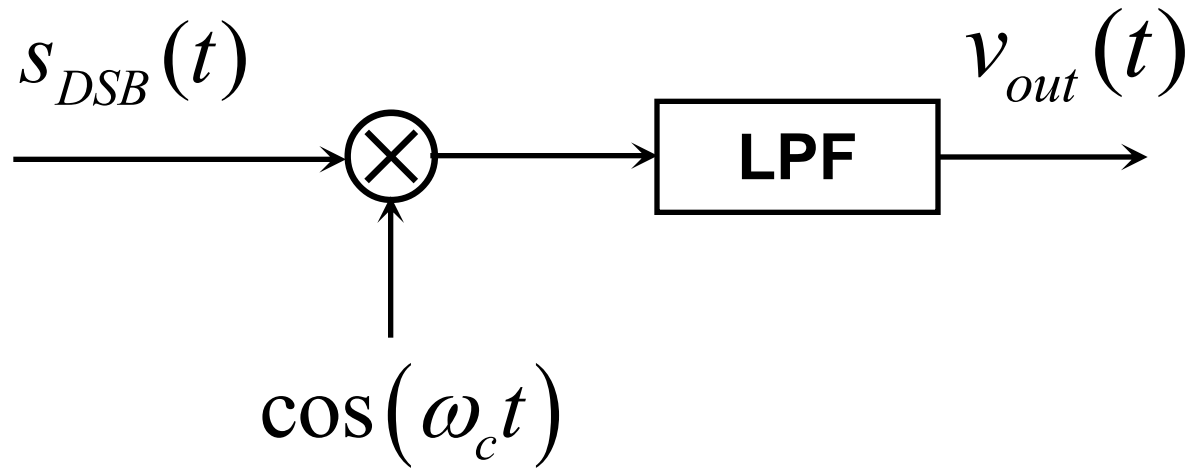
$$s_{DSB}(t) = m(t) \cos(\omega_c t)$$

(2) 接收

$$s_{DSB}(t) = m(t) \cos(\omega_c t)$$

✓乘积检波（相干解调）

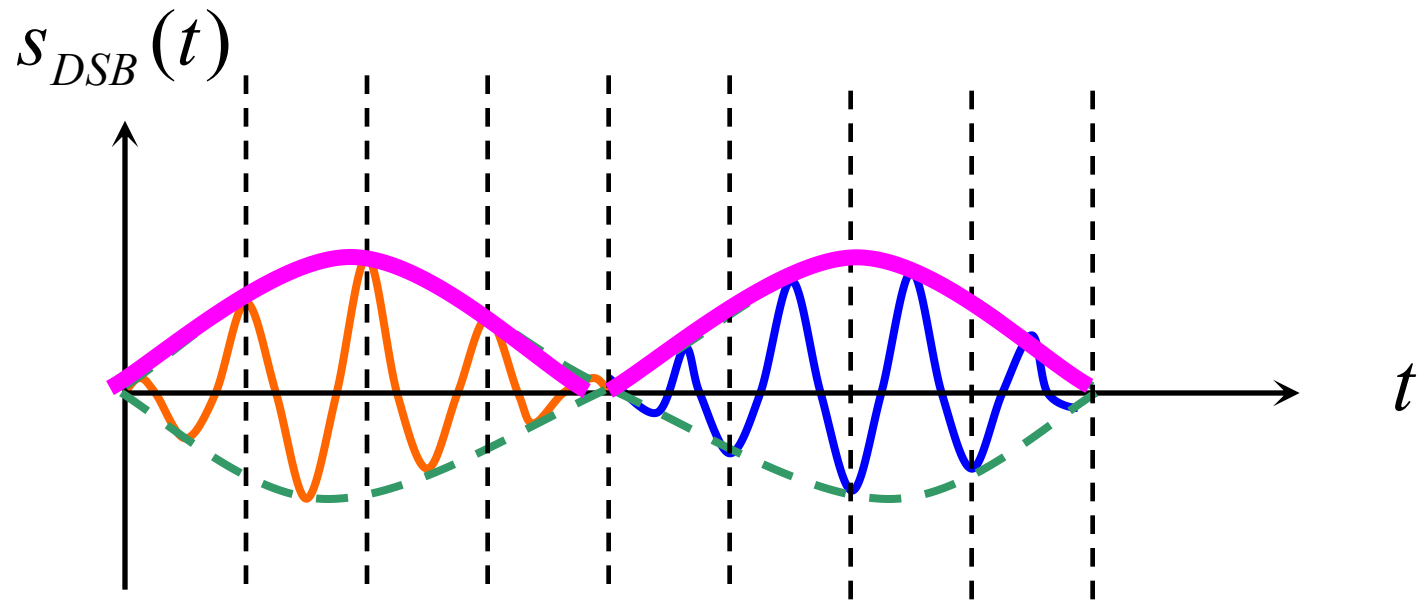
无失真恢复基带信号。



$\sqrt{2}$ 包络检波（非相干解调）

此法需要大幅度的载波（参阅曹志刚的书）。

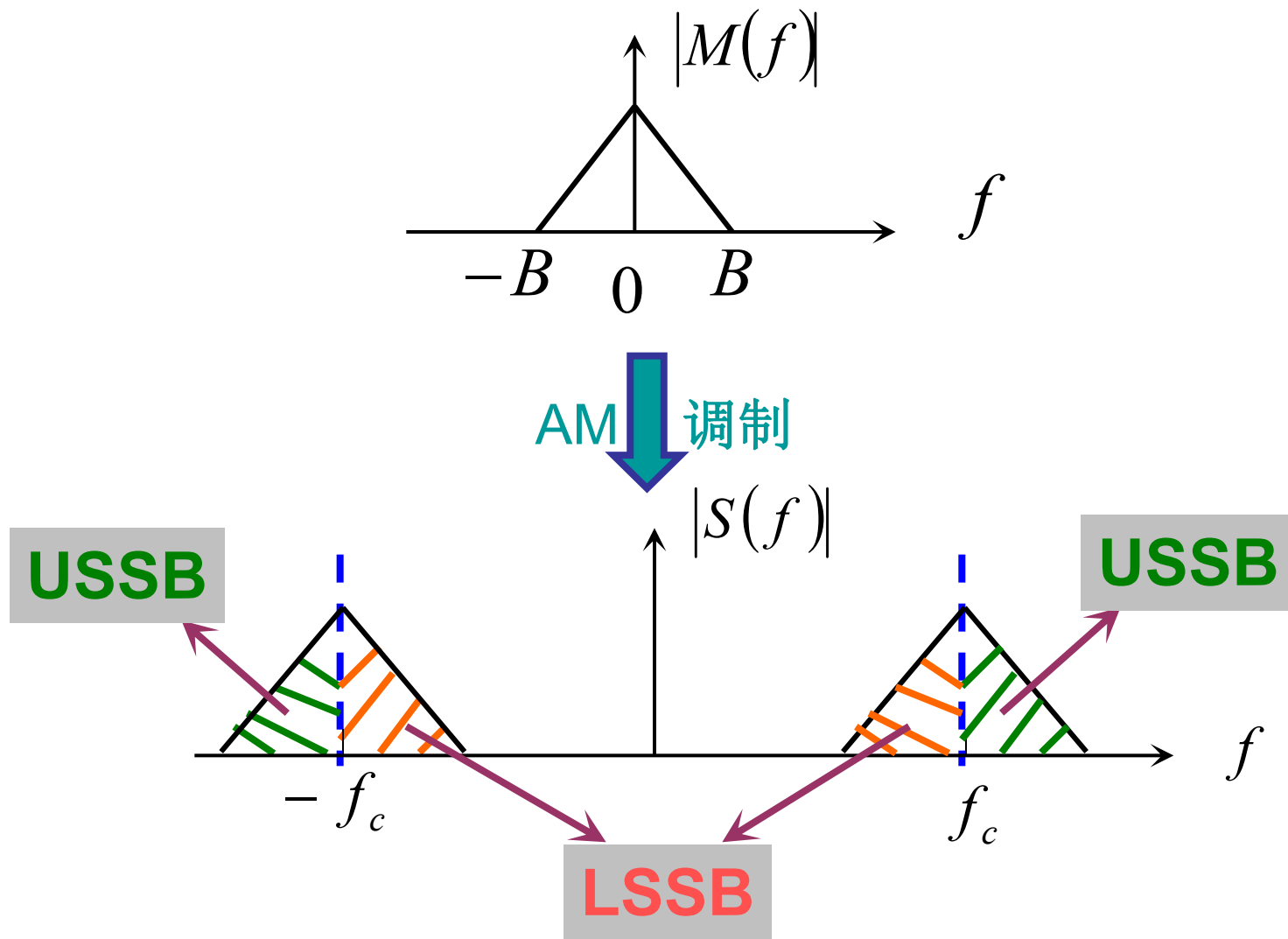
恢复的基带信号有失真。



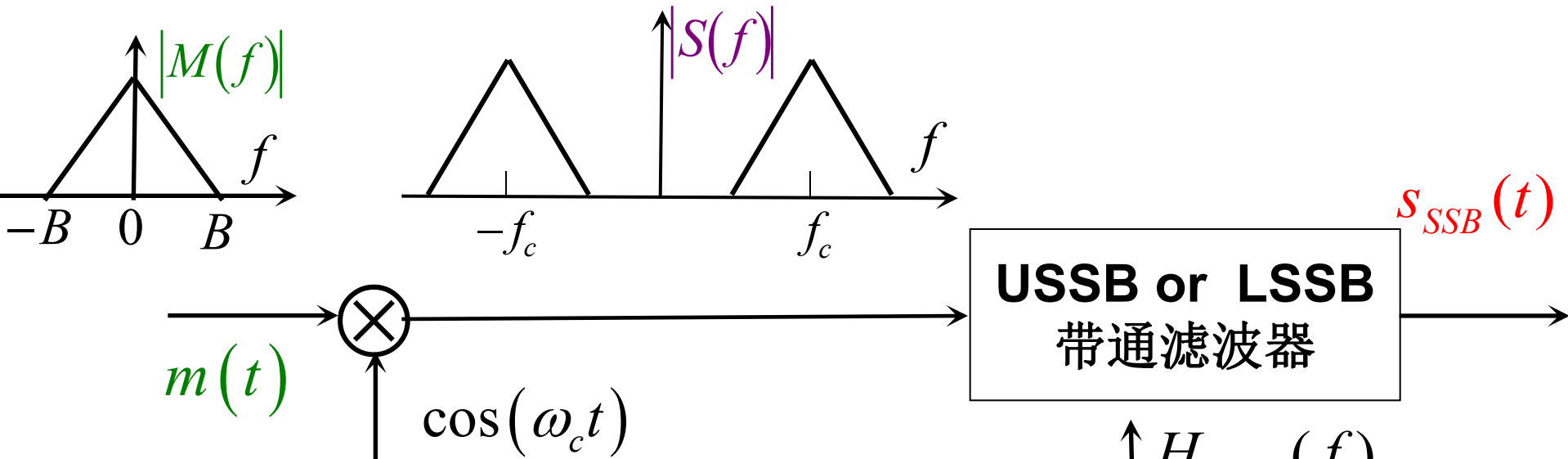
5.1.3 单边带调制

1. 滤波法及SSB信号的频域表示

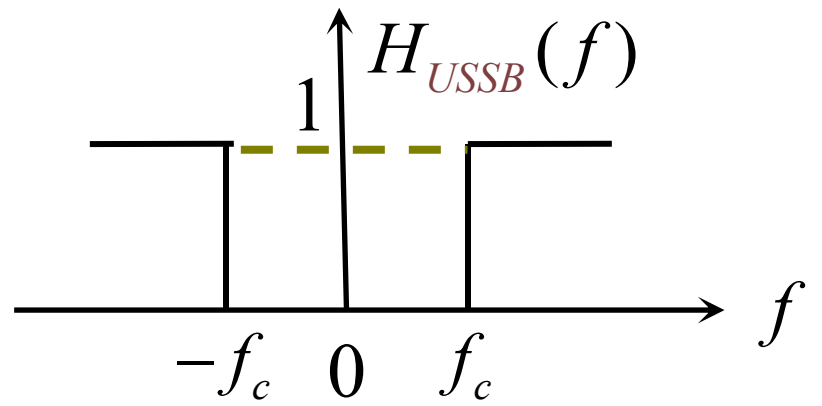
研究SSB—AM信号



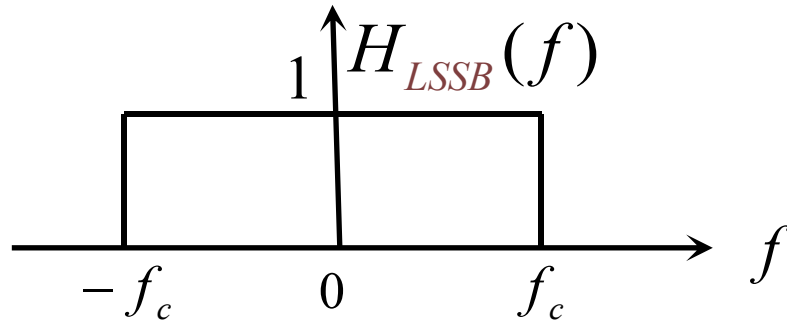
✓ 濾波法



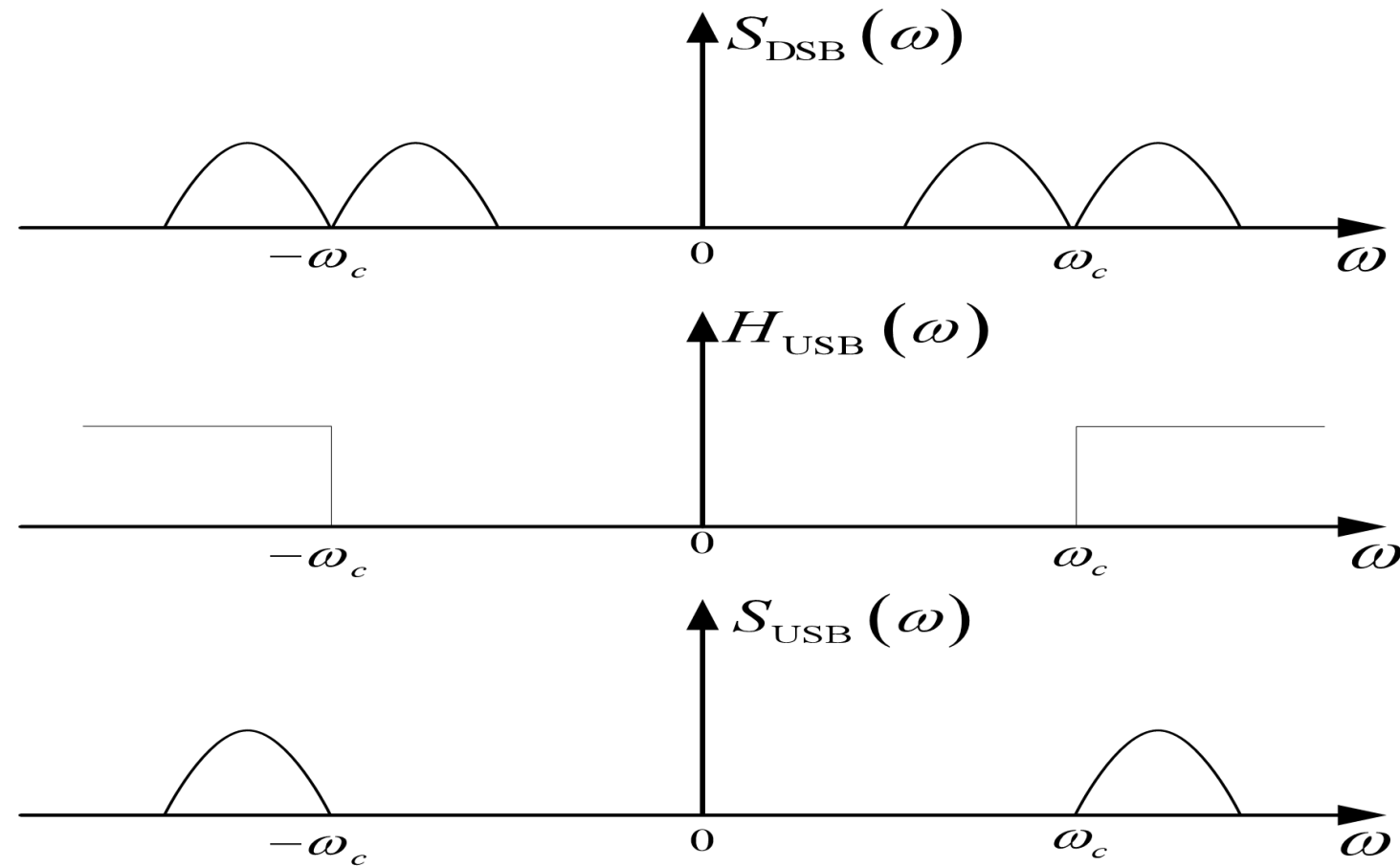
$$H_{USSB}(f) = \begin{cases} 1 & |f| > f_c \\ 0 & |f| < f_c \end{cases}$$



$$\text{or } H_{LSSB}(f) = \begin{cases} 1 & |f| < f_c \\ 0 & |f| > f_c \end{cases}$$



- 频谱图

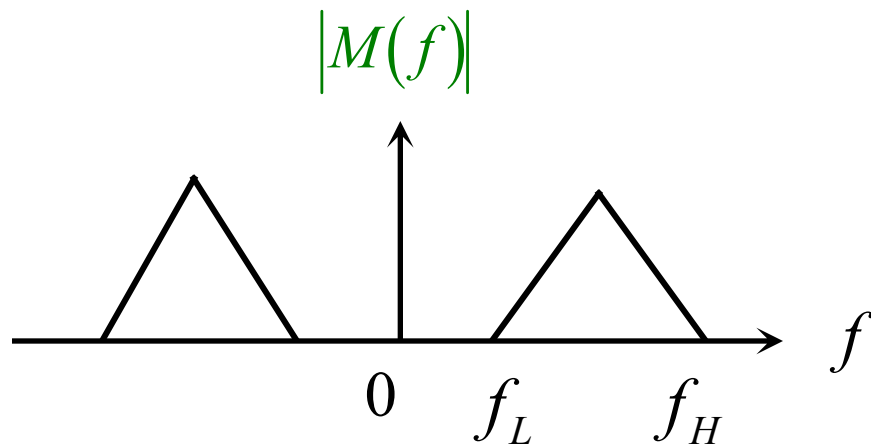


- **技术难点:** 濾波器实现
- **措施:** 多级调制（限制调制信号无直流分量）

- 单边带信号的带宽

假设调制信号 $m(t)$ 的有效频带为 $f_L \sim f_H$,

则单边带信号的带宽为 $B_T = B_m = f_H - f_L$



注意：SSB信号与AM信号和DSB信号不同，前者的**基带**信号采用带通定义，而后者采用低通定义。

$$B_{\text{单边带}} = B_m = f_H - f_L, \quad B_{\text{双边带}} = 2B_m = 2f_H$$

2. 相移法和SSB信号的时域表示

当调制信号为单频信号时: $m(t) = A_m \cos(\omega_m t)$

有:

$$s_{DSB}(t) = A_m \cos(\omega_m t) \cos(\omega_c t)$$

$$= \frac{1}{2} A_m \cos[(\omega_c + \omega_m)t] + \frac{1}{2} A_m \cos[(\omega_c - \omega_m)t]$$

上边带 下边带

于是:

$$s_{USB}(t) = \frac{1}{2} A_m \cos(\omega_c + \omega_m)t$$

$$s_{LSB}(t) = \frac{1}{2} A_m \cos(\omega_c - \omega_m)t$$

- SSB信号的时域表示式

$$s_{USB}(t) = \frac{1}{2} A_m \cos[(\omega_c + \omega_m)t]$$

$$= \frac{1}{2} A_m \cos(\omega_m t) \cos(\omega_c t) - \frac{1}{2} A_m \sin(\omega_m t) \sin(\omega_c t)$$

$$s_{LSB}(t) = \frac{1}{2} A_m \cos[(\omega_c - \omega_m)t]$$

$$= \frac{1}{2} A_m \cos(\omega_m t) \cos(\omega_c t) + \frac{1}{2} A_m \sin(\omega_m t) \sin(\omega_c t)$$

合并两式：


$$\left. \begin{aligned} s_{USB}(t) \\ s_{LSB}(t) \end{aligned} \right\} = \frac{1}{2} A_m \cos(\omega_m t) \cos(\omega_c t) \mp \frac{1}{2} A_m \sin(\omega_m t) \sin(\omega_c t)$$

- SSB信号的时域表示式

$$m(t) = A_m \cos(\omega_m t)$$

$$\hat{\cos}(\omega_m t) = \sin(\omega_m t)$$

$$\begin{cases} s_{USB}(t) \\ s_{LSB}(t) \end{cases} = \frac{1}{2} A_m \cos(\omega_m t) \cos(\omega_c t) \mp \frac{1}{2} A_m \sin(\omega_m t) \sin(\omega_c t)$$



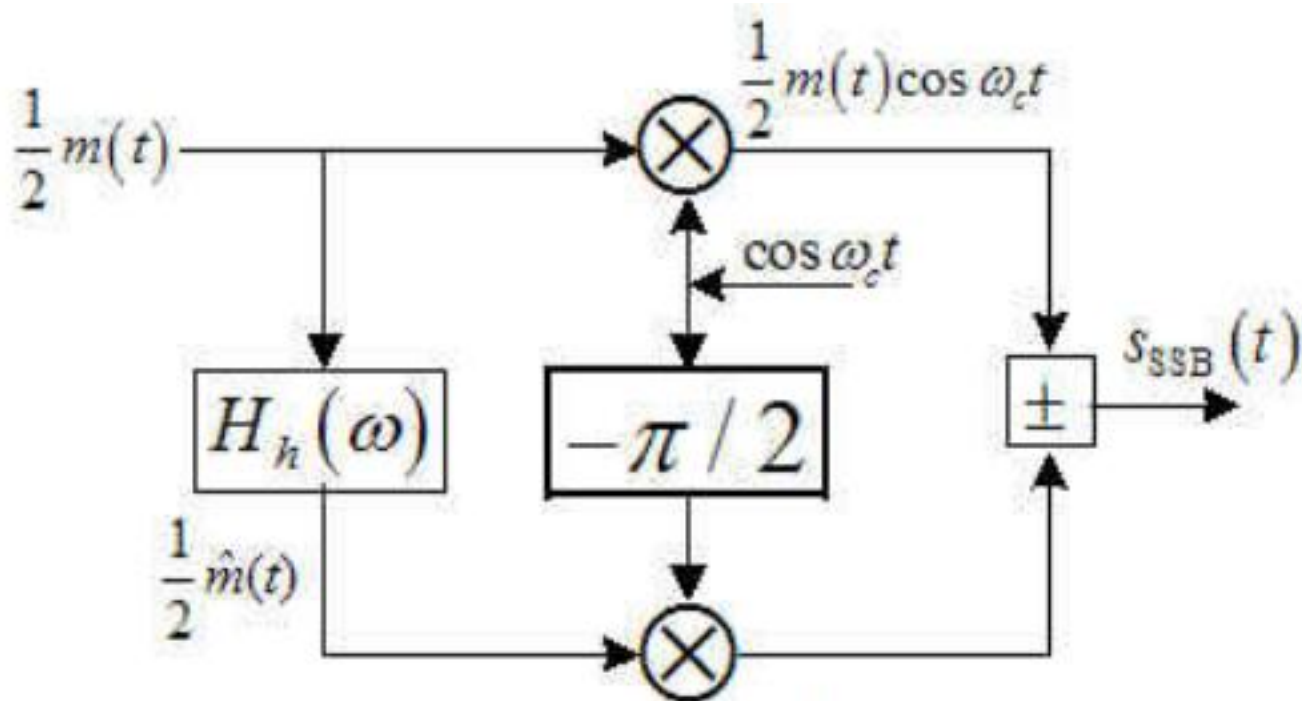
$$s_{SSB}(t) = \frac{1}{2} m(t) \cos(\omega_c t) \mp \frac{1}{2} \hat{m}(t) \sin(\omega_c t)$$



"-" → USSB
"+" → LSSB

- 相移法的实现

$$s_{SSB}(t) = \frac{1}{2}m(t)\cos(\omega_c t) \mp \frac{1}{2}\hat{m}(t)\sin(\omega_c t)$$



$$\frac{1}{2}\hat{m}(t)\sin(\omega_c t)$$

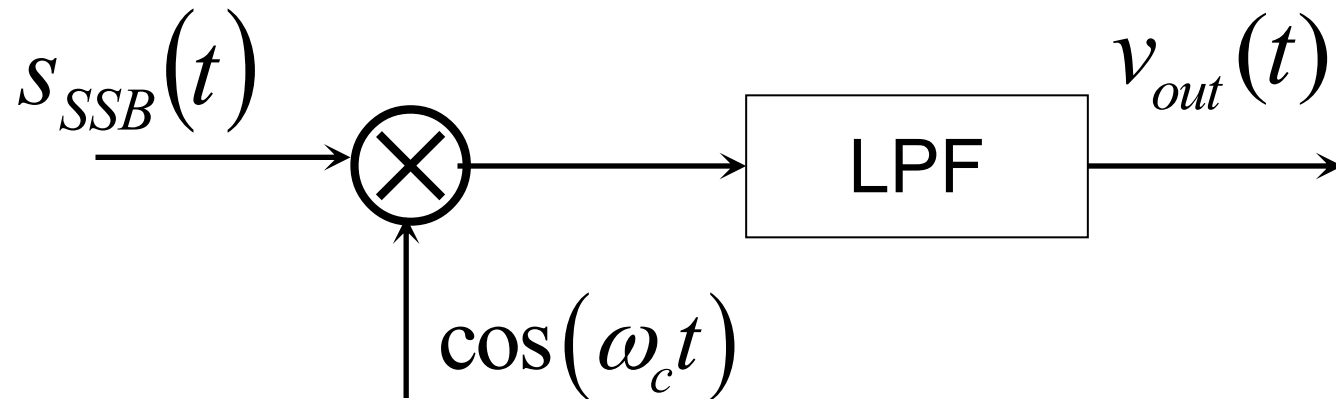
希尔伯特滤波器 $H_h(\omega)$ 将 $m(t)$ 的所有频率分量都相移 $-\pi/2$ 。

3. SSB信号的接收

$$s_{SSB}(t) = \frac{1}{2} [m(t) \cos(\omega_c t) \mp \hat{m}(t) \sin(\omega_c t)]$$

✓ 乘积检波（相干解调）

无失真恢复。

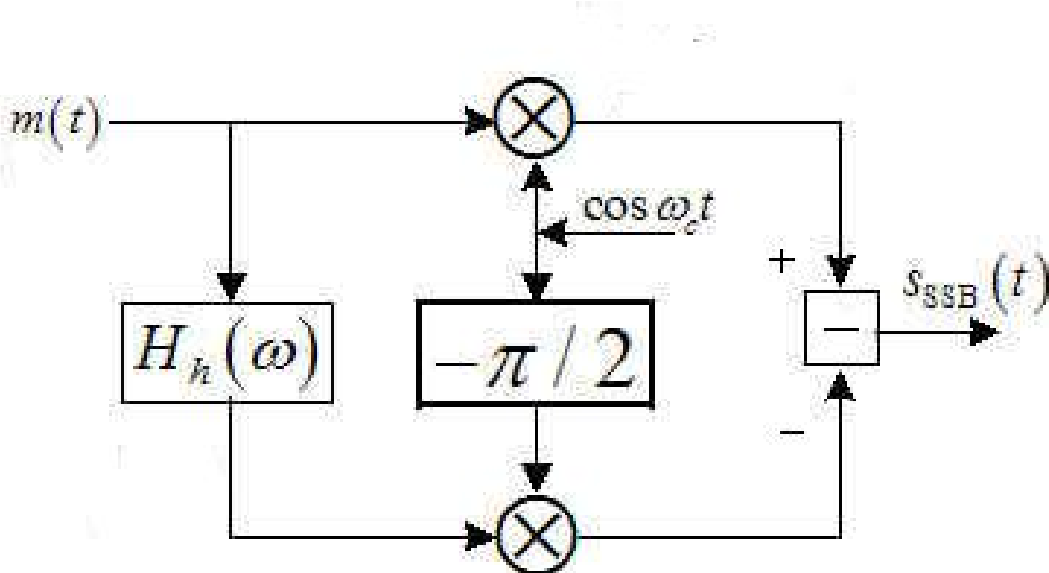


✓ 包络检波（非相干解调）

此法需要大幅度的载波。

恢复的基带信号有失真。

例：系统框图如下图所示(注意与标准框图的区别)



若 $m(t) = \cos(200\pi t) + \sin(300\pi t)$, 载波 $f_c = 1000\text{Hz}$

求已调信号表达式、带宽及功率。

解：SSB信号的表达式为

$$s_{SSB}(t) = m(t) \cos(2\pi f_c t) - \hat{m}(t) \sin(2\pi f_c t)$$

其中：

$$\begin{cases} m(t) = \cos(200\pi t) + \sin(300\pi t) & B_m = 150 - 100 = 50Hz \\ \hat{m}(t) = \sin(200\pi t) - \cos(300\pi t) & \overline{m^2(t)} = \frac{1}{2} + \frac{1}{2} = 1W \end{cases}$$

可得：

$$s_{SSB}(t) = \cos(2200\pi t) + \sin(2300\pi t)$$

带宽 $B_{SSB} = B_m = 50Hz$

功率 $P_{SSB} = \frac{1}{2} + \frac{1}{2} = 1W$

模拟线性调制

AM

$$s_L(t) = A_0 + m(t)$$

$$s(t) = [A_0 + m(t)] \cos(\omega_c t)$$

DSB-SC

$$s_L(t) = m(t)$$

$$s(t) = m(t) \cos(\omega_c t)$$

SSB

$$s_L(t) = \frac{1}{2} [m(t) \pm j\hat{m}(t)]$$

- + for USSB
- for LSSB

$$s(t) = \frac{1}{2} [m(t) \cos(\omega_c t) \mp \hat{m}(t) \sin(\omega_c t)]$$

- for USSB
- + for LSSB

	AM	DSB-SC	SSB
带宽B = $m(t)$ 的带宽	2B	2B	B
无失真解调	包络检波 乘积检波	乘积检波	乘积检波

模拟线性调制

AM

$$s_L(t) = A_0 + m(t)$$

$$s(t) = [A_0 + m(t)] \cos(\omega_c t)$$

DSB-SC

$$s_L(t) = m(t)$$

$$s(t) = m(t) \cos(\omega_c t)$$

SSB

$$s_L(t) = \frac{1}{2} [m(t) \pm j\hat{m}(t)]$$

- + for USSB
- for LSSB

$$s(t) = \frac{1}{2} [m(t) \cos(\omega_c t) \mp \hat{m}(t) \sin(\omega_c t)]$$

- for USSB
- + for LSSB

$$s(t) = \operatorname{Re} [s_L(t) e^{j2\pi f_c t}]$$

$$s(t) = s_c(t) \cos(\omega_c t) - s_s(t) \sin(\omega_c t)$$

$$s_L(t) = s_c(t) + j s_s(t)$$

根据已调信号频谱内容，幅度调制本身可分为三种类型。

三种幅度调制特点分别如下：

1. 标准幅度调制（AM）

发端: 上边带和下边带均被发送，并伴有载波。

收端: 对AM信号的解调很简单，如采用包络检波。

应用: 广泛应用于商用AM无线广播中，无线广播系统包括一个功率发射机和很多造价低廉的接收机。

2. 抑制载波的双边带（DSB-SC）调制

发端: 只发送上边带和下边带。发送同样的消息信号时，需要的功率远小于标准AM的发射功率。

收端: 要求相干解调，接收机结构相对复杂。

应用: 适用于只有一个发射机和一个接收机的点对点通信。

3. 单边带（SSB）调制

发端: 只发送上边带或下边带。需要的信道带宽最小。

收端: 要求相干解调, 接收机结构相对复杂。

应用: 只能应用于能量间隙中心在零频率的消息信号。

常用于二次调制。

第5章 模拟调制系统

核心内容----模拟信号的调制、解调

5.1 幅度调制（线性调制）的原理

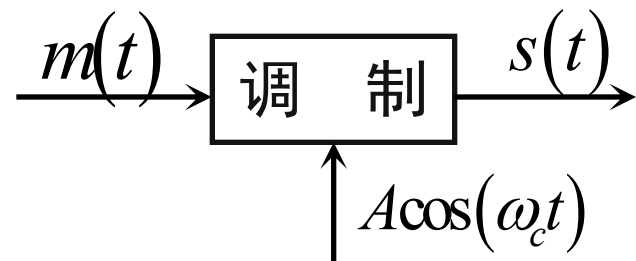
<< 5.2 角度调制（非线性调制）原理 >>

5.3 各种模拟调制系统的比较

5.4 频分复用

5.2 角度调制原理

模拟角调制——用信号去迫使高频
载波相位或频率变化。



◆ 相位调制 (PM)

◆ 频率调制 (FM)

5.2.1 角度调制的基本概念

1. 表达式和相关概念

已调信号为: $s_m(t) = A \cos[\omega_c t + \varphi(t)]$

- (1) 瞬时绝对相位 $\omega_c t + \varphi(t)$
- (2) 瞬时相对相位 $\varphi(t)$ 又称相偏
- (3) 瞬时绝对频率 $\omega_c + \frac{d\varphi(t)}{dt}$
- (4) 瞬时相对频率 $\frac{d\varphi(t)}{dt}$ 又称频偏

(1) 相位调制 (PM)

已调信号为：

$$s_m(t) = A \cos[\omega_c t + \varphi(t)]$$

对 PM :

$$\varphi(t) = K_P m(t)$$

K_P  相位调制器的调相灵敏度

单位： rad/V (m(t) 为电压波形)

rad/A (m(t) 为电流波形)

则**PM**信号为：

$$s_{PM}(t) = A \cos[\omega_c t + K_p m(t)]$$

➤最大相偏

$$\Delta\varphi_{\max} = |\varphi(t)|_{\max} \quad \underline{\underline{\text{PM}}} \quad K_p |m(t)|_{\max}$$

➤最大频偏

$$\Delta f_{\max} = |f_i(t) - f_c|_{\max} \quad \underline{\underline{\text{PM}}} \quad = \frac{1}{2\pi} K_p \left| \frac{d}{dt} m(t) \right|_{\max}$$

➤调相指数

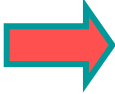
$$m_p = \Delta\varphi_{\max} \quad \rightarrow \quad \text{区分NBPM和WBPM}$$

(2) 频率调制 (FM)

已调信号为：

$$s_m(t) = A \cos[\omega_c t + \varphi(t)]$$

对 FM : $\varphi(t) = 2\pi K_f \int_{-\infty}^t m(\tau) d\tau$

K_f  频率调制器的调频灵敏度

单位： Hz/V (m(t) 为电压波形)

Hz/A (m(t) 为电流波形)

则**FM**信号为：

$$s_{FM}(t) = A \cos[\omega_c t + 2\pi K_f \int_{-\infty}^t m(\tau) d\tau]$$

➤最大频偏

$$\Delta f_{\max} = |f_i(t) - f_c|_{\max} \stackrel{\text{FM}}{=} K_f |m(t)|_{\max}$$

➤最大相偏

$$\Delta\varphi_{\max} = |\varphi(t)|_{\max} \stackrel{\text{FM}}{=} 2\pi K_f \left| \int_{-\infty}^t m(\tau) d\tau \right|_{\max}$$

➤调频指数

$$m_f = \frac{\Delta f_{\max}}{B} = \frac{\Delta f_{\max}}{f_m}$$

→ $m(t)$ 的带宽



区分**NBFM**和**WBFM**

角调制信号(**PM** 和 **FM**)的表达式:

$$s_m(t) = A \cos[\omega_c t + \underline{\varphi(t)}]$$

PM : $\varphi(t) = K_p m(t)$

FM : $\varphi(t) = 2\pi K_f \int_{-\infty}^t m(\tau) d\tau$

小结

PM 信号

$$s_{PM}(t) = A \cos[\omega_c t + K_p m(t)]$$

➤ 最大相偏

$$\Delta\varphi_{\max} = |\varphi(t)|_{\max}$$

➤ 最大频偏

$$\Delta f_{\max} = |f_i(t) - f_c|_{\max}$$

➤ 调相指数

$$m_p = \Delta\varphi_{\max}$$

FM 信号

$$s_{FM}(t) = A \cos[\omega_c t + 2\pi K_f \int_{-\infty}^t m(\tau) d\tau]$$

➤ 最大相偏

$$\Delta\varphi_{\max} = |\varphi(t)|_{\max}$$

➤ 最大频偏

$$\Delta f_{\max} = |f_i(t) - f_c|_{\max}$$

➤ 调频指数

$$m_f = \frac{\Delta f_{\max}}{B} = \frac{\Delta f_{\max}}{f_m}$$

例 若消息信号为: $m(t) = a \cos(2\pi f_m t)$

对载波 $A \cos(2\pi f_c t)$ 既可以进行调频，又可调相。

确定调频和调相信号的表达式。假设 K_f 和 K_p 为已知。

解: PM信号对应的相位偏移:

$$\varphi(t) = K_p m(t) = K_p a \cos(2\pi f_m t)$$

FM信号对应的相位偏移:

$$\varphi(t) = 2\pi K_f \int m(\sigma) d\sigma = \frac{K_f a}{f_m} \sin(2\pi f_m t)$$

调相信号: $s_{PM}(t) = A \cos[2\pi f_c t + K_p a \cos(2\pi f_m t)]$

调频信号: $s_{FM}(t) = A \cos\left[2\pi f_c t + \frac{K_f a}{f_m} \sin(2\pi f_m t)\right]$

例

已知调角波：

$$s(t) = 2 \cos(10^7 \pi t + 4 \cos 10^3 \pi t + \cos 10^4 \pi t)$$

(1) 求 Δf_{\max} 与 $\Delta \varphi_{\max}$ ；

(2) 若 $s(t)$ 是调相波， $K_p = 2$ ，求 $m(t)$ 与 m_p ；

(3) 若 $s(t)$ 是调频波， $K_f = 2000$ ，求 $m(t)$ 与 m_f 。

解：(1) 此调角波信号的相位偏移：

$$\varphi(t) = 4 \cos(10^3 \pi t) + \cos(10^4 \pi t)$$

最大相偏： $\Delta \varphi_{\max} = \left| 4 \cos(10^3 \pi t) + \cos(10^4 \pi t) \right|_{\max} = 4 + 1 = 5$

此调角波信号的频率偏移：

$$f_i(t) - f_c = \frac{1}{2\pi} \frac{d\varphi(t)}{dt} = -2 \times 10^3 \sin(10^3 \pi t) - 0.5 \times 10^4 \sin(10^4 \pi t)$$

最大频偏： $\Delta f_{\max} = \left| -2 \times 10^3 \sin(10^3 \pi t) - 5 \times 10^3 \sin(10^4 \pi t) \right|_{\max} \approx 6975$

例

已知调角波：

$$s(t) = 2 \cos(10^7 \pi t + 4 \cos 10^3 \pi t + \cos 10^4 \pi t)$$

(1) 求 Δf_{\max} 与 $\Delta \varphi_{\max}$ ；

(2) 若 $s(t)$ 是调相波， $K_p = 2$ ，求 $m(t)$ 与 m_p ；

(3) 若 $s(t)$ 是调频波， $K_f = 2000$ ，求 $m(t)$ 与 m_f 。

(2) 若为PM波，其相位偏移：

$$\varphi(t) = K_P m(t) = 4 \cos(10^3 \pi t) + \cos(10^4 \pi t)$$

调制信号： $m(t) = \frac{4 \cos(10^3 \pi t) + \cos(10^4 \pi t)}{K_P}$
 $= 2 \cos(10^3 \pi t) + 0.5 \cos(10^4 \pi t)$

调相指数： $m_p = \Delta \varphi_{\max} = 5$

例

已知调角波：

$$s(t) = 2 \cos(10^7 \pi t + 4 \cos 10^3 \pi t + \cos 10^4 \pi t)$$

(1) 求 Δf_{\max} 与 $\Delta \varphi_{\max}$ ；

(2) 若 $s(t)$ 是调相波， $K_p = 2$ ，求 $m(t)$ 与 m_p ；

(3) 若 $s(t)$ 是调频波， $K_f = 2000$ ，求 $m(t)$ 与 m_f 。

(3) 若为FM波，其频率偏移：

$$\Delta f = K_f m(t) = -2 \times 10^3 \sin(10^3 \pi t) - 5 \times 10^3 \sin(10^4 \pi t)$$

调制信号： $m(t) = \frac{-2 \times 10^3 \sin(10^3 \pi t) - 0.5 \times 10^4 \sin(10^4 \pi t)}{2000}$

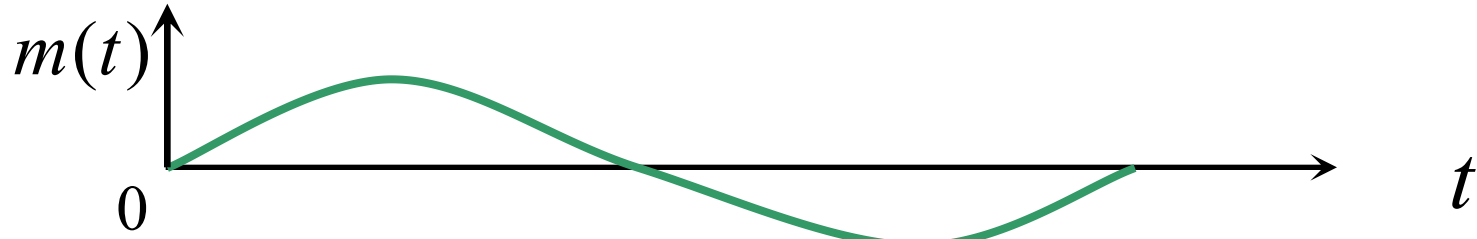
$$= -\sin(10^3 \pi t) - 2.5 \sin(10^4 \pi t)$$

调频指数： $m_f = \frac{\Delta f_{\max}}{B} = \frac{6.975 \times 10^3}{5 \times 10^3} \approx 1.4$

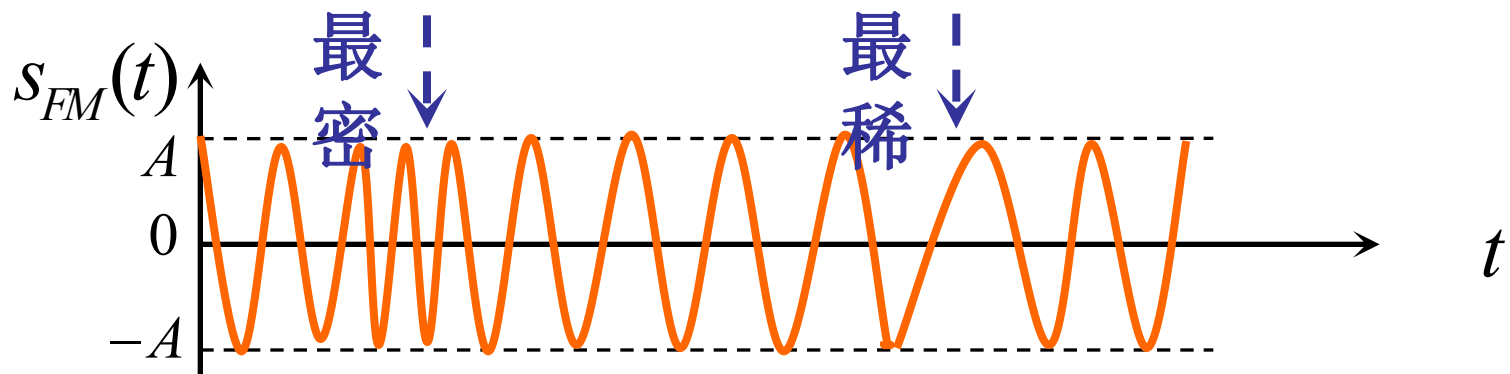
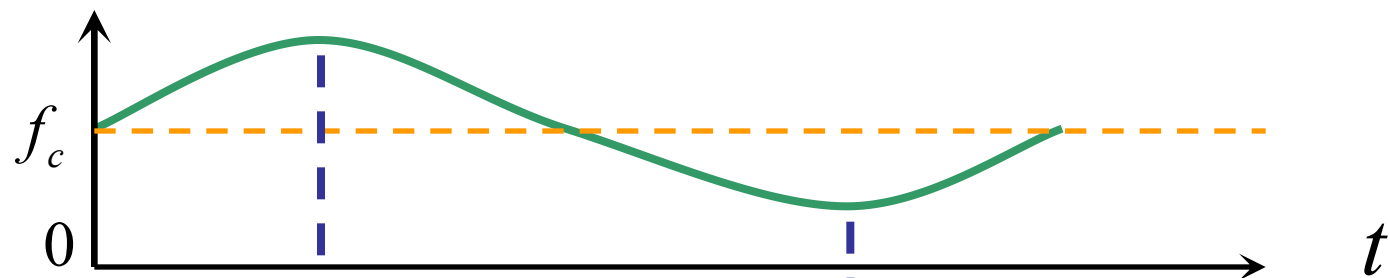
2. 波形

(1) FM

$$s_{FM}(t) = A \cos[\omega_c t + 2\pi K_f \int_{-\infty}^t m(\tau) d\tau]$$

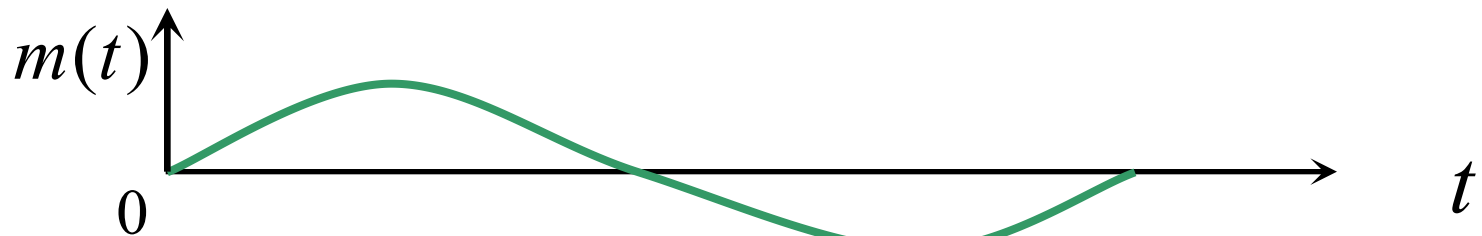


$$f_i(t) = f_c + K_f \cdot m(t)$$

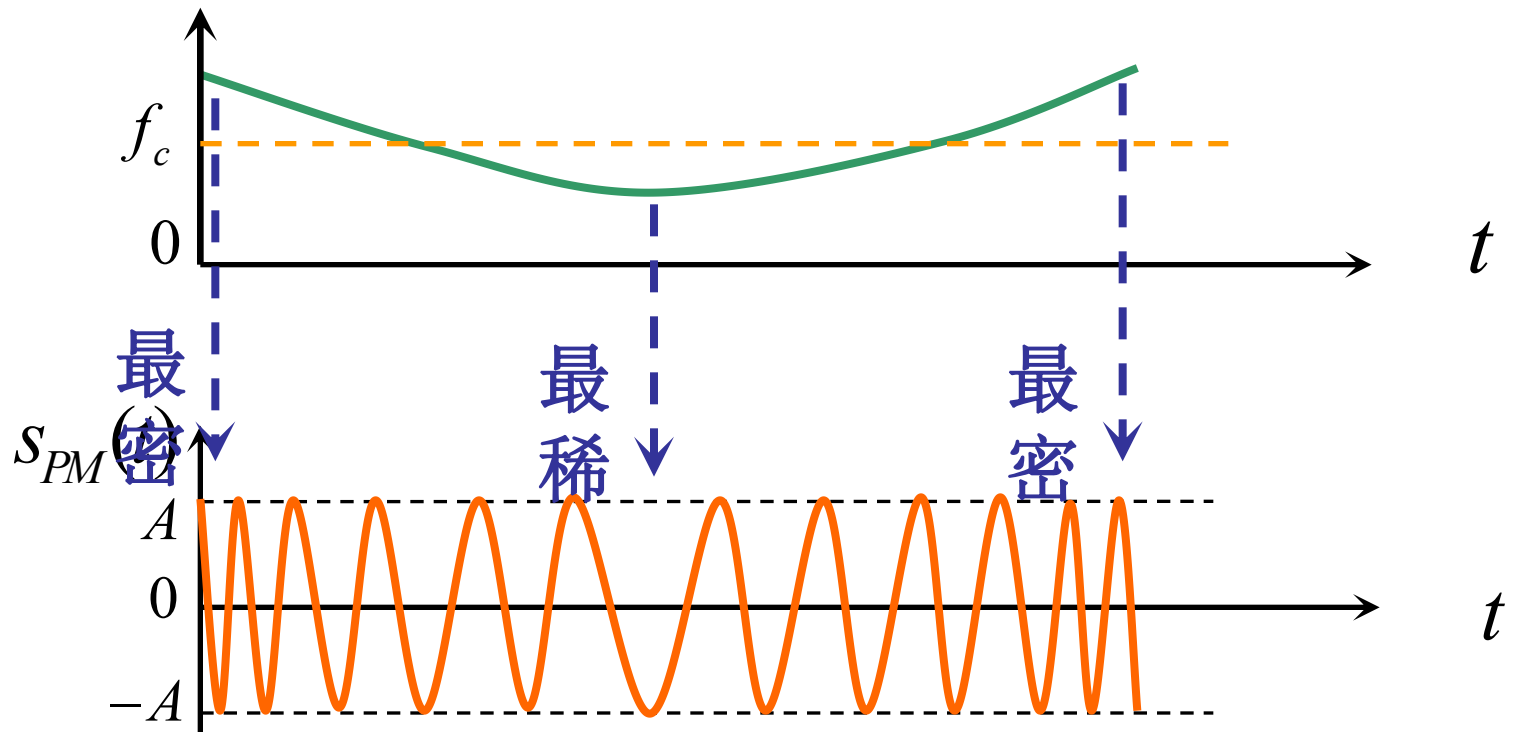


(2) PM

$$s_{PM}(t) = A \cos[\omega_c t + K_p m(t)]$$

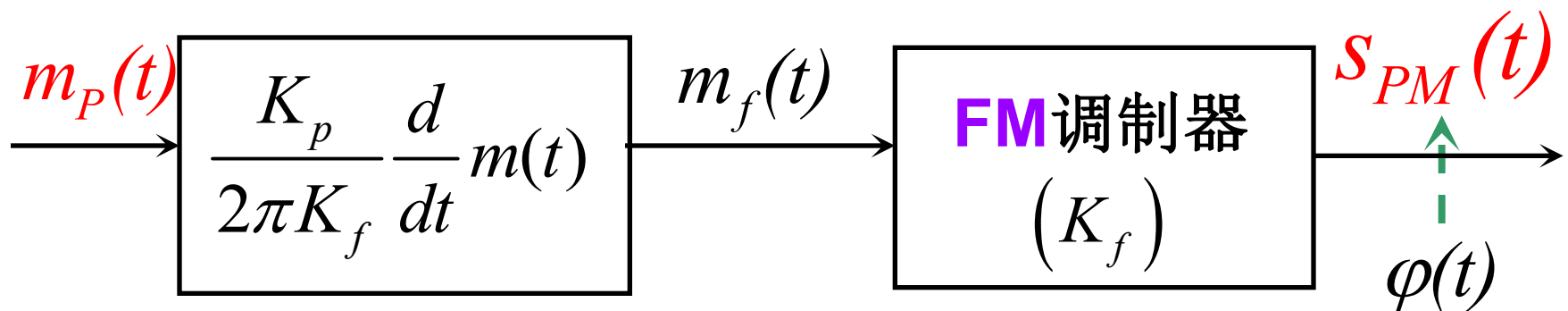


$$f_i(t) = f_c + \frac{K_p}{2\pi} \cdot \frac{dm(t)}{dt}$$



3. 两者的等效关系

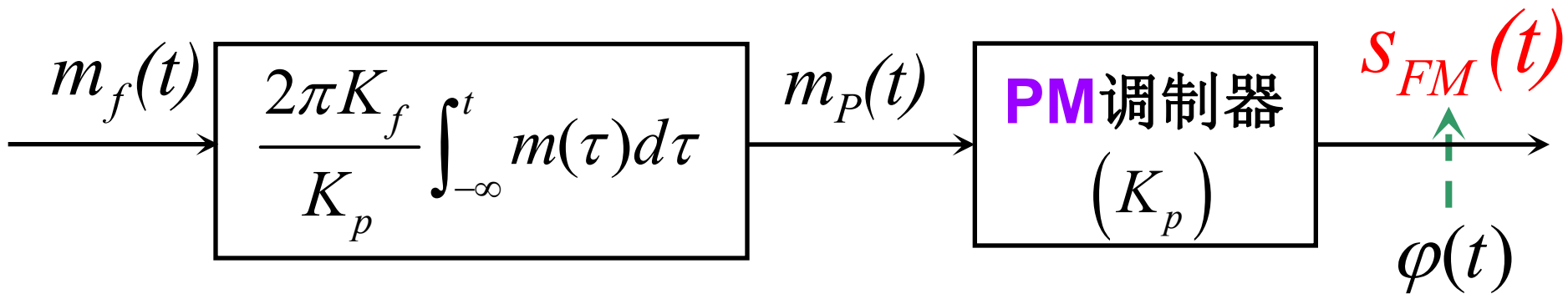
(1) 用**FM**调制器产生**PM**信号



$$m_f(t) = \frac{K_p}{2\pi K_f} \cdot \frac{dm_P(t)}{dt}$$

$$\varphi(t) = 2\pi K_f \int_{-\infty}^t m_f(\tau) d\tau = K_p \cdot m_P(t) \rightarrow \text{PM 信号}$$

(2) 用PM调制器产生FM信号



$$m_P(t) = \frac{2\pi K_f}{K_p} \cdot \int_{-\infty}^t m_f(\tau) d\tau$$

$$\varphi(t) = K_p m_p(t) = 2\pi K_f \cdot \int_{-\infty}^t m_f(\tau) d\tau \rightarrow \text{FM 信号}$$

5. 2. 2 窄带调频 (NBFM)

若FM信号的**最大相偏**满足以下条件：

$$2\pi \left| K_f \int_{-\infty}^t m(\tau) d\tau \right| \ll \frac{1}{12}$$

称FM信号为**窄带调频**。 反之为**宽带调频**。

则对应的**窄带调频信号**的时域表达式为：

$$s_{NBFM}(t) = A \cos[\omega_c t + 2\pi K_f \int_{-\infty}^t m(\tau) d\tau]$$

$$= A \cos(\omega_c t) \cos \left[2\pi K_f \int_{-\infty}^t m(\tau) d\tau \right] - A \sin(\omega_c t) \sin \left[2\pi K_f \int_{-\infty}^t m(\tau) d\tau \right]$$

$$\approx A \cos(\omega_c t) - 2\pi A K_f \left[\int_{-\infty}^t m(\tau) d\tau \right] \sin(\omega_c t)$$

$$s_{NBFM}(t) \approx A \cos(\omega_c t) - 2\pi A K_f \left[\int_{-\infty}^t m(\tau) d\tau \right] \sin(\omega_c t)$$

↓

傅氏变换

$$\approx A \cos(\omega_c t) - A \varphi(t) \sin(\omega_c t)$$

则窄带调频信号的频域表达式为：

$$S_{NBFM}(\omega) = \pi A [\delta(\omega + \omega_c) + \delta(\omega - \omega_c)]$$

$$+ \frac{AK_f}{2} \left[\frac{M(\omega - \omega_c)}{\omega - \omega_c} - \frac{M(\omega + \omega_c)}{\omega + \omega_c} \right]$$

$$S_{AM}(\omega) = \pi A [\delta(\omega + \omega_c) + \delta(\omega - \omega_c)] + \frac{1}{2} [M(\omega + \omega_c) + M(\omega - \omega_c)]$$

$$S_{NBFM}(\omega) = \pi A [\delta(\omega + \omega_c) + \delta(\omega - \omega_c)] + \frac{AK_f}{2} \left[\frac{M(\omega - \omega_c)}{\omega - \omega_c} - \frac{M(\omega + \omega_c)}{\omega + \omega_c} \right]$$

- **NBFM**和**AM**信号频谱的比较
- 带宽相同
- 边频分别乘了因式 $[1/(\omega - \omega_c)]$ 和 $[1/(\omega + \omega_c)]$
- **NBFM**的一个边带和**AM**反相

- 单音调制NBFM和AM信号频谱的比较

调制信号 $m(t) = A_m \cos(\omega_m t)$

AM信号

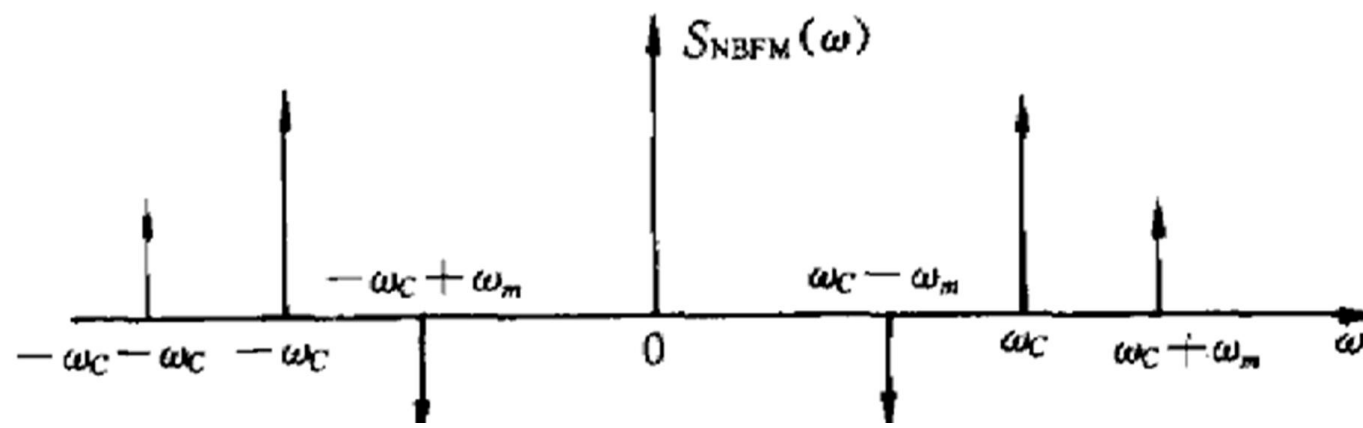
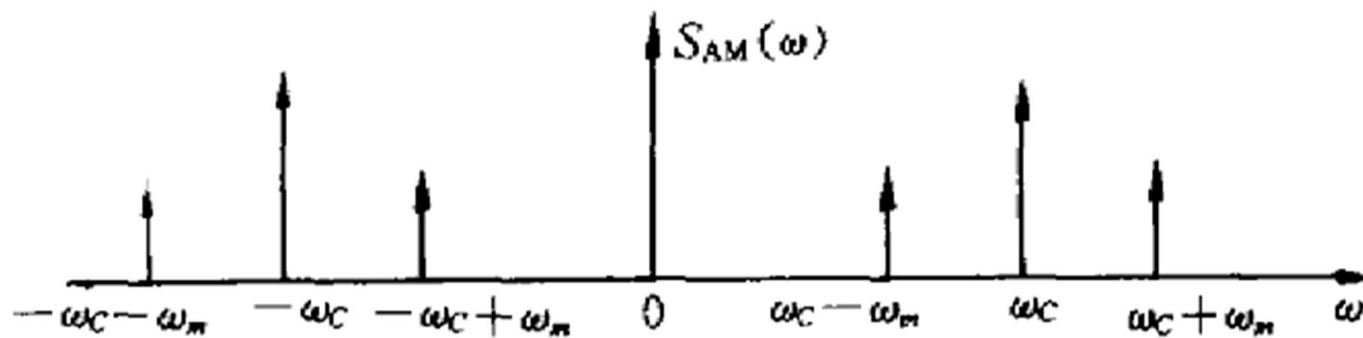
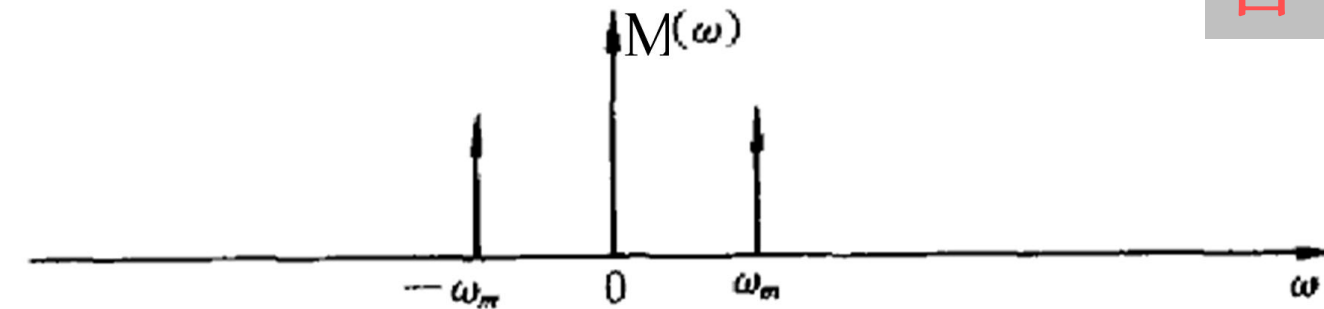
$$S_{AM}(\omega) = \pi A_m [\delta(\omega + \omega_c) + \delta(\omega - \omega_c)]$$

$$+ \frac{\pi A_m}{2} [\delta(\omega + \omega_c + \omega_m) + \delta(\omega + \omega_c - \omega_m) + \delta(\omega - \omega_c + \omega_m) + \delta(\omega - \omega_c - \omega_m)]$$

NBFM信号

$$S_{NBFM}(\omega) = \pi A_m [\delta(\omega + \omega_c) + \delta(\omega - \omega_c)]$$

$$+ \frac{\pi A_m K_f}{2} \left[\frac{\delta(\omega - \omega_c + \omega_m) + \delta(\omega - \omega_c - \omega_m)}{\omega - \omega_c} - \frac{\delta(\omega + \omega_c + \omega_m) + \delta(\omega + \omega_c - \omega_m)}{\omega + \omega_c} \right]$$



• 频谱图

5.2.3 宽带调频 (WBFM)

1. 调频信号表达式

分析：正弦调制的FM的谱

令调制信号为： $m(t) = A_m \cos(2\pi f_m t)$

则相偏

$$\begin{aligned}\varphi(t) &= 2\pi K_f \int_{-\infty}^t m_f(\sigma) d\sigma = 2\pi K_f \int_{-\infty}^t A_m \cos(\omega_m \sigma) d\sigma \\ &= \frac{2\pi K_f \cdot A_m}{\omega_m} \sin(\omega_m t) = \frac{K_f \cdot A_m}{f_m} \sin(\omega_m t) \\ \Delta f_{\max} &= K_f |m(t)|_{\max} = K_f \cdot A_m\end{aligned}$$

$$\therefore m_f = \frac{\Delta f_{\max}}{f_m} = \frac{K_f \cdot A_m}{f_m}$$

$$\therefore \varphi(t) = m_f s \sin(\omega_m t)$$

则**FM**信号为：

$$s_{FM}(t) = A \cos[\omega_c t + m_f \sin(\omega_m t)]$$

$$= A \cos(\omega_c t) \cos(m_f \sin(\omega_m t)) - A \sin(\omega_c t) \sin(m_f \sin(\omega_m t))$$

$$= A \sum_{n=-\infty}^{\infty} J_n(m_f) \cos[(\omega_c + n\omega_m)t]$$

$$s_{FM}(t) = A \sum_{n=-\infty}^{\infty} J_n(m_f) \cos[(\omega_c + n\omega_m)t]$$

则**FM**信号的**频谱**为：

$$S_{FM}(\omega) = \pi A \sum_{n=-\infty}^{\infty} J_n(m_f) [\delta(\omega - \omega_c - n\omega_m) + \delta(\omega + \omega_c + n\omega_m)]$$

式中：

$$J_n(m_f) = \frac{1}{2\pi} \int_{-\pi}^{\pi} e^{j(m_f \sin \theta - n\theta)} d\theta$$
$$-\infty < n < \infty, m_f \geq 0$$

为第一类n阶贝塞尔 (**Bessel**) 函数

$$J_n(m_f) = \frac{1}{2\pi} \int_{-\pi}^{\pi} e^{j(m_f \sin \theta - n\theta)} d\theta$$

✓性质：

$$(1) J_{-n}(m_f) = (-1)^n J_n(m_f)$$

$$n \text{为奇数时, } J_{-n}(m_f) = -J_n(m_f)$$

$$n \text{为偶数时, } J_{-n}(m_f) = J_n(m_f)$$

$$(2) J_n(0) = \frac{\sin(n\pi)}{n\pi}$$

(3) 对任意 m_f 值, 各阶贝塞尔函数的平方和恒等于1

$$\sum_{n=-\infty}^{\infty} J_n^2(m_f) = 1$$

贝塞尔函数

m_f

序号	m_f
1	2. 40
2	5. 52
3	8. 65
4	11. 79
5	14. 93
6	18. 07
7	21. 21
8	24. 35

$J_0(m_f)=0$ 的 m_f 值

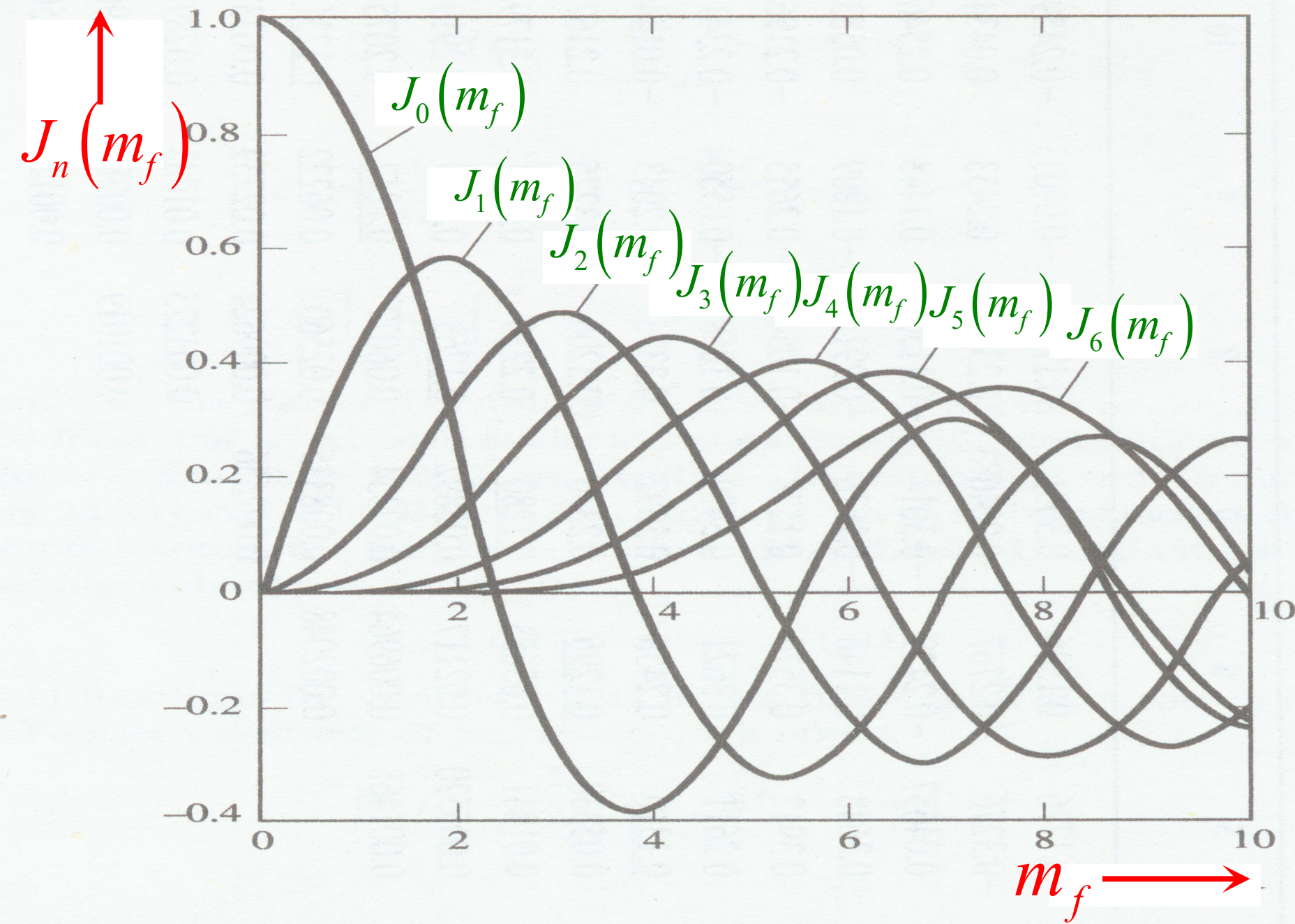
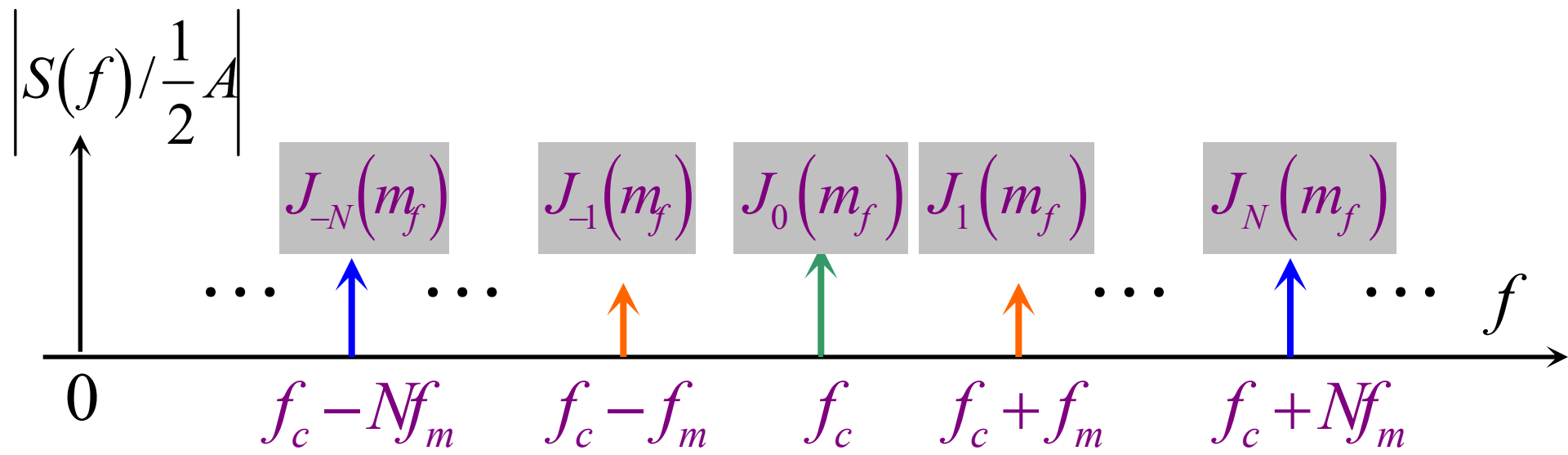


Figure 5–10 Bessel functions for $n = 0$ to $n = 6$.

$$S_{FM}(f) = \frac{A}{2} \sum_{n=-\infty}^{\infty} J_n(m_f) [\delta(f - f_c - n f_m) + \delta(f + f_c + n f_m)]$$



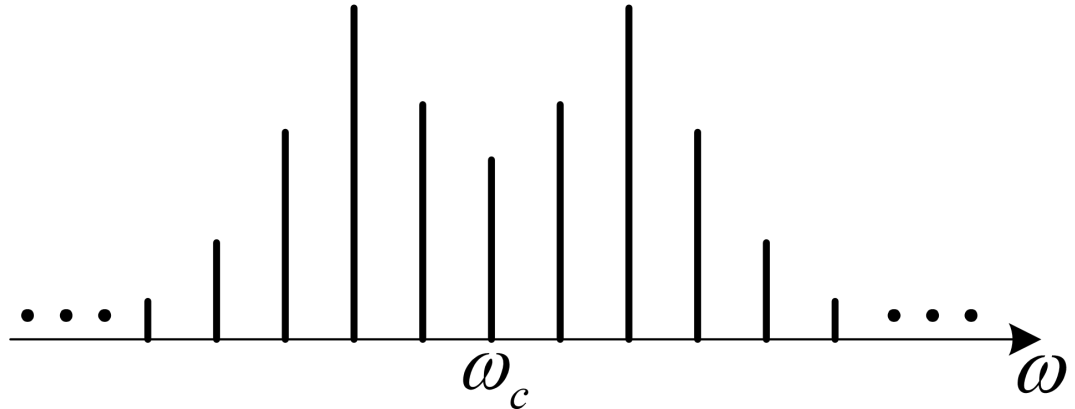
$n = 0 \rightarrow f_c$ 分量，幅度为 $\frac{A}{2} J_0(m_f)$

$n \neq 0 \rightarrow$ 边频分量，幅度为 $\frac{A}{2} J_n(m_f)$

2. 调频信号的带宽

典型频谱结构

带宽



- 绝对带宽无限大
- 工程计算（卡森公式）

$$B_{FM} = 2(m_f + 1)f_m = 2(\Delta f_{\max} + f_m)$$

$$B_{FM} = 2(m_f + 1)f_m = 2(\Delta f_{\max} + f_m)$$

当 $m_f \ll 1$ 时， $B_{FM} \approx 2f_m$ ，窄带调频的带宽。

当 $m_f \gg 1$ 时， $B_{FM} \approx 2\Delta f_{\max}$ ，宽带调频的带宽。

当任意限带信号调制时， f_m 是调制信号的最高频率，
 m_f 是最大频偏 Δf 与 f_m 之比。

例 FM广播中规定的最大频偏 Δf 为75kHz，最高调制频率 f_m 为15kHz

故调频指数 $m_f = 5$ 信号的频带宽度为 180kHz

3. 调频信号的功率分配

$$s_{FM}(t) = A \sum_{n=-\infty}^{\infty} J_n(m_f) \cos[(\omega_c + n\omega_m)t]$$

$$P_{FM} = \overline{s_{FM}^2(t)}$$

$$\sum_{n=-\infty}^{\infty} J_n^2(m_f) = 1$$

$$= \overline{A \left[\cdots + J_{-1}(m_f) \cos[(\omega_c - \omega_m)t] + J_0(m_f) \cos(\omega_c t) + J_1(m_f) \cos[(\omega_c + \omega_m)t] + \cdots \right]}$$

$$\times \overline{A \left[\cdots + J_{-1}(m_f) \cos[(\omega_c - \omega_m)t] + J_0(m_f) \cos(\omega_c t) + J_1(m_f) \cos[(\omega_c + \omega_m)t] + \cdots \right]}$$

$$= \frac{A^2}{2} \left[\cdots + J_{-1}^2(m_f) + J_0^2(m_f) + J_1^2(m_f) + \cdots \right]$$

$$= \frac{A^2}{2} \sum_{n=-\infty}^{\infty} J_n^2(m_f) = \frac{1}{2} A^2$$

3. 调频信号的功率分配

$$s_{FM}(t) = A \sum_{n=-\infty}^{\infty} J_n(m_f) \cos[(\omega_c + n\omega_m)t]$$

$$P_{FM} = \overline{s_{FM}^2(t)}$$

$$= \frac{A^2}{2} \sum_{n=-\infty}^{\infty} J_n^2(m_f) = \frac{1}{2} A^2$$

$$\sum_{n=-\infty}^{\infty} J_n^2(m_f) = 1$$

$$J_n(0) = \frac{\sin(n\pi)}{n\pi}$$

$n=0$ 对应载波，

$$\text{其功率为 } P_C = \frac{1}{2} A^2 J_0^2(m_f)$$

$n \neq 0$ 对应边频，

$$\text{其功率为 } P_{\text{边}} = \frac{1}{2} A^2 J_n^2(m_f)$$

▲ 当 $m_f = 0$, $P_C = \frac{1}{2} A^2 J_0^2(0) = \frac{1}{2} A^2$ 边频功率为0;

▲ 当 $m_f \neq 0$, 载波功率下降, 转变为各边频功率, 总功率不变。

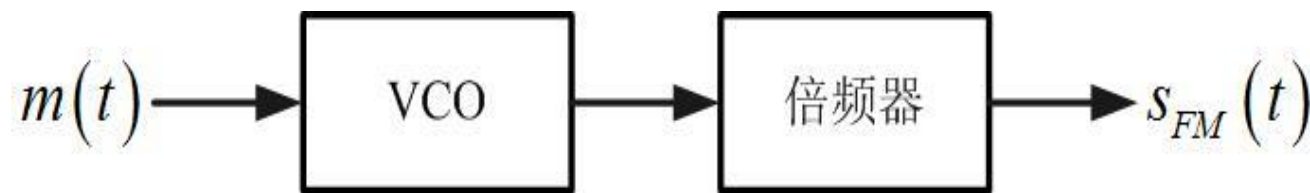
m_f 不同时, 载波功率与各边频功率的分配关系也发生变化。

5.2.4 调频信号的产生与解调

1. 调频信号的产生

1) 直接调频法

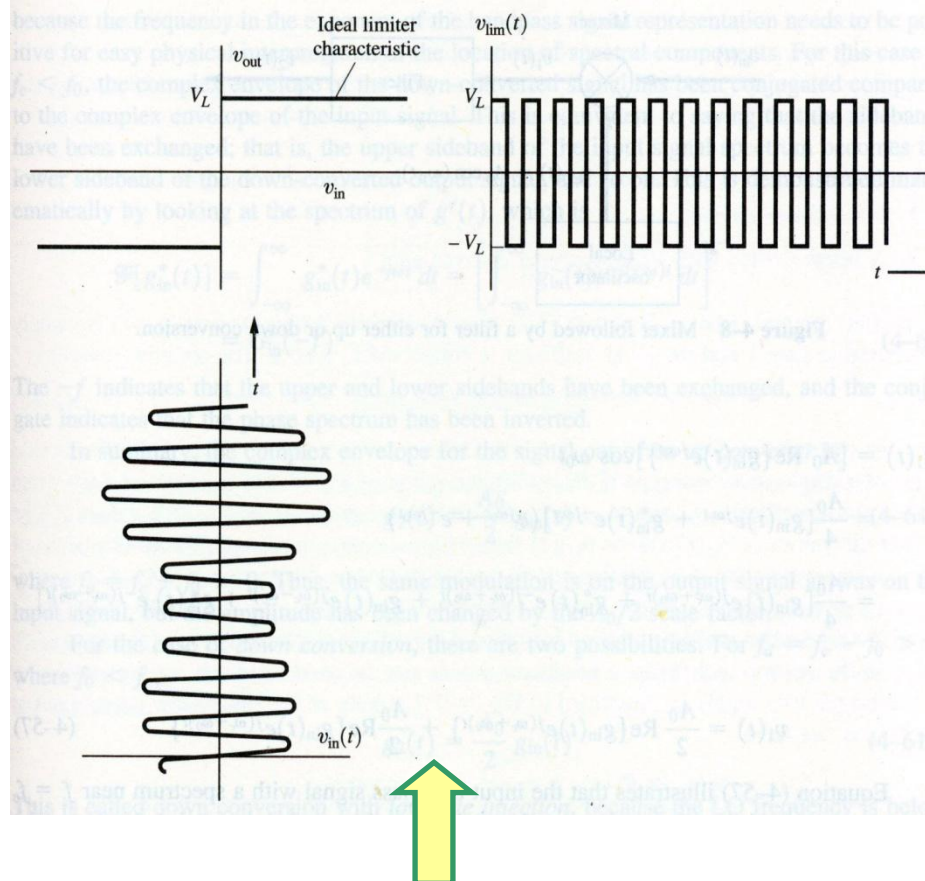
用调制信号直接改变载波振荡器频率的方法。



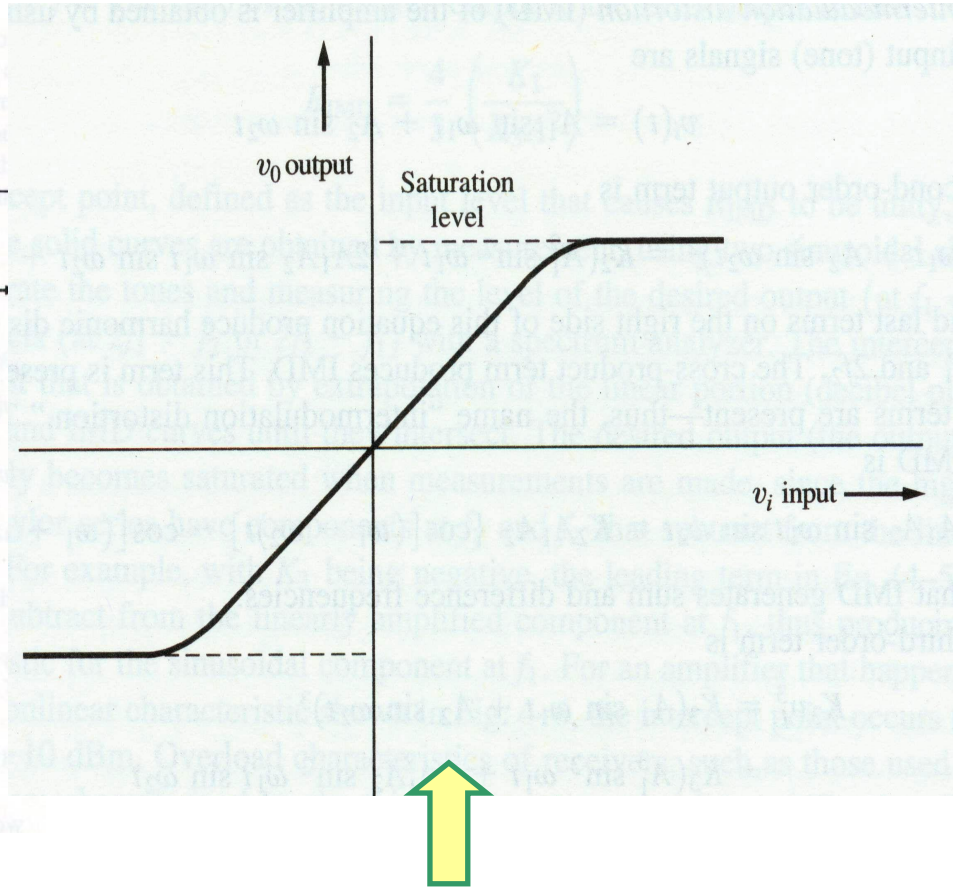
优点: 可得到很大的频偏

缺点: 载频会发生漂移，需附加稳频电路

限幅器：具有饱和输出特性的非线性电路



硬（理想）限幅器特性



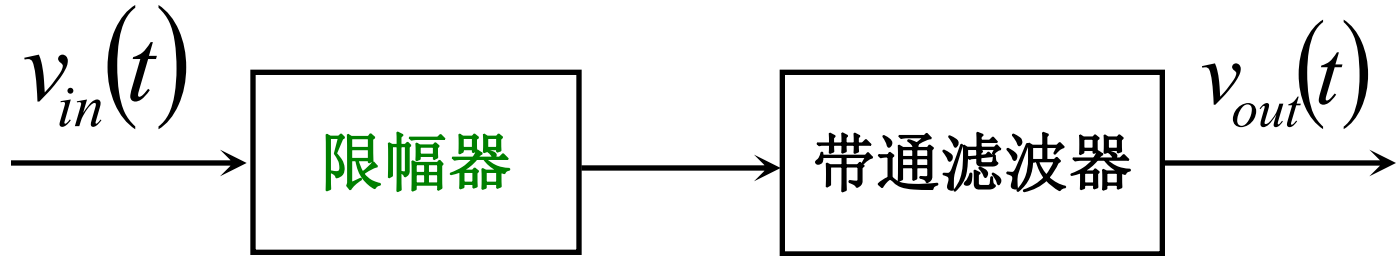
软饱和限幅器特性

功能:

消除输入信号实包络上的变化

应用:

为角度调制设计的接收系统中，如PSK,
FSK 和模拟 FM



带通输入:

$$v_{in}(t) = a(t) \cdot \cos[\omega_c t + \varphi(t)]$$

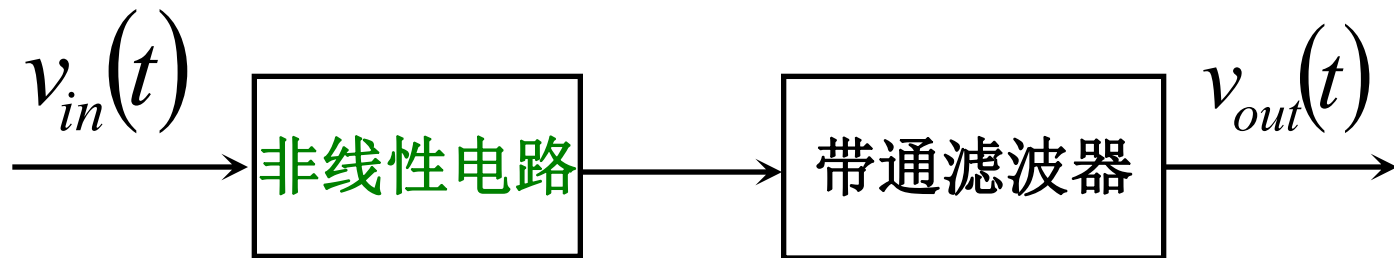
理想带通限幅器输出:

$$v_{out}(t) = K \cdot V_L \cdot \cos[\omega_c t + \varphi(t)]$$

倍频器

倍频器：输出信号将位于输入载波的n次谐波所在的频段上

应用：角度调制系统中，如PM 和FM



带通输入： $v_{in}(t) = a(t) \cdot \cos[\omega_c t + \varphi(t)]$

倍频器输出： $v_{out}(t) = C \cdot R^n(t) \cdot \cos[n\omega_c t + n\varphi(t)]$

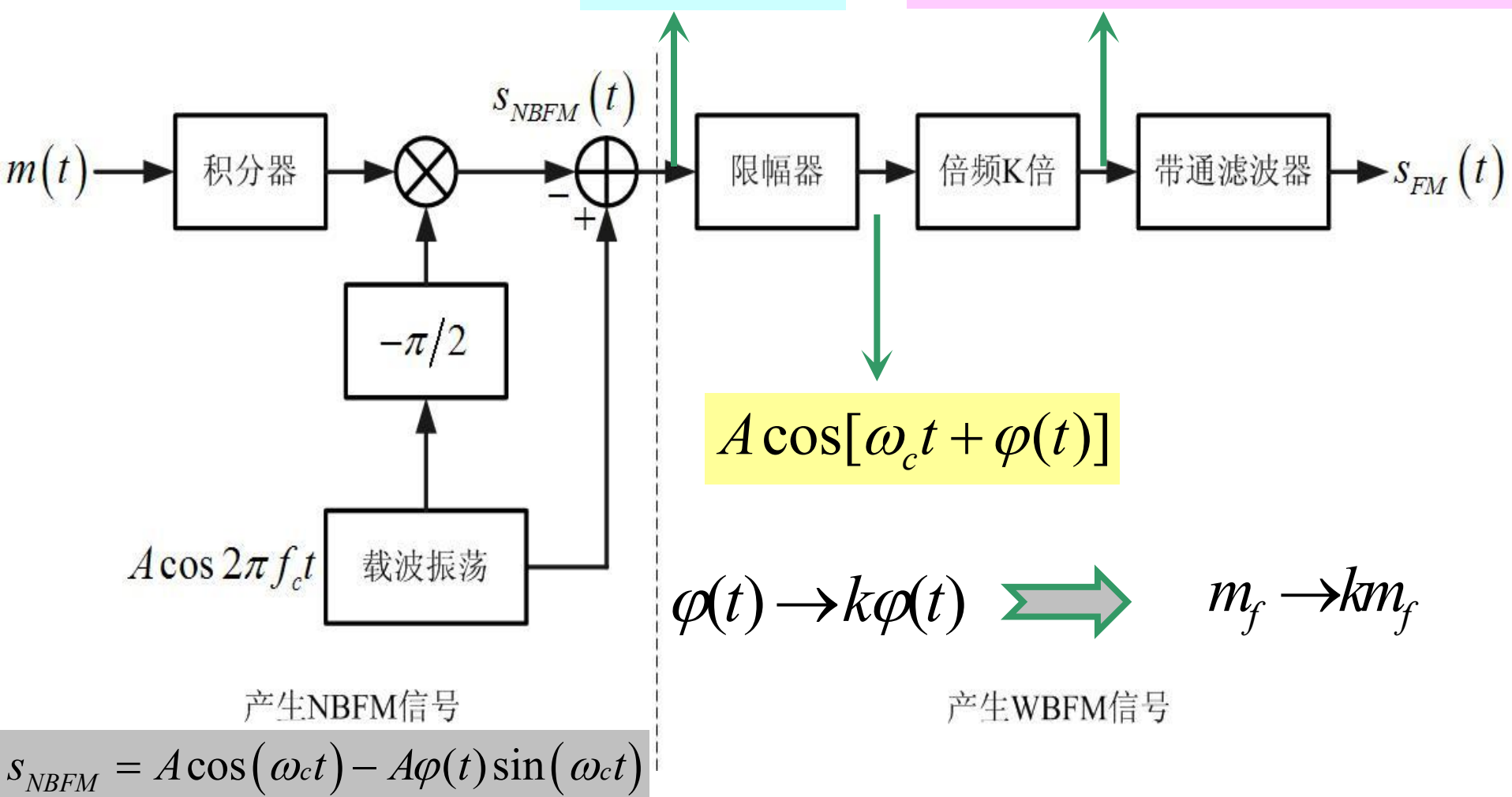
$n=2 \rightarrow$ 双级倍频器 $n=3 \rightarrow$ 三级倍频器

2) 间接调频法（阿姆斯特朗法）

有偶发AM项

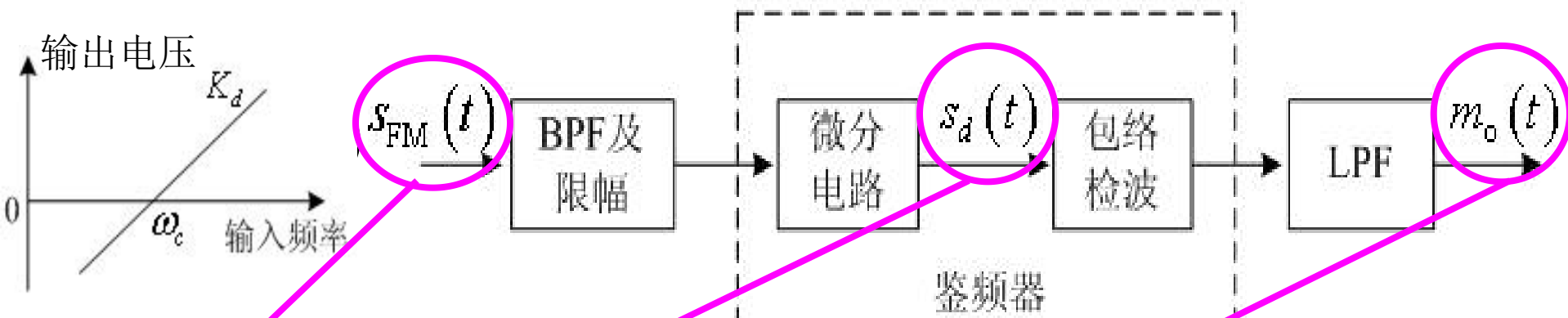
$$A\sqrt{1+\varphi^2(t)}$$

$$c \cdot A^k \cos[k\omega_c t + k\varphi(t)]$$



2. 调频信号的解调

1) 非相干解调（适用于NBFM和WBFM信号）



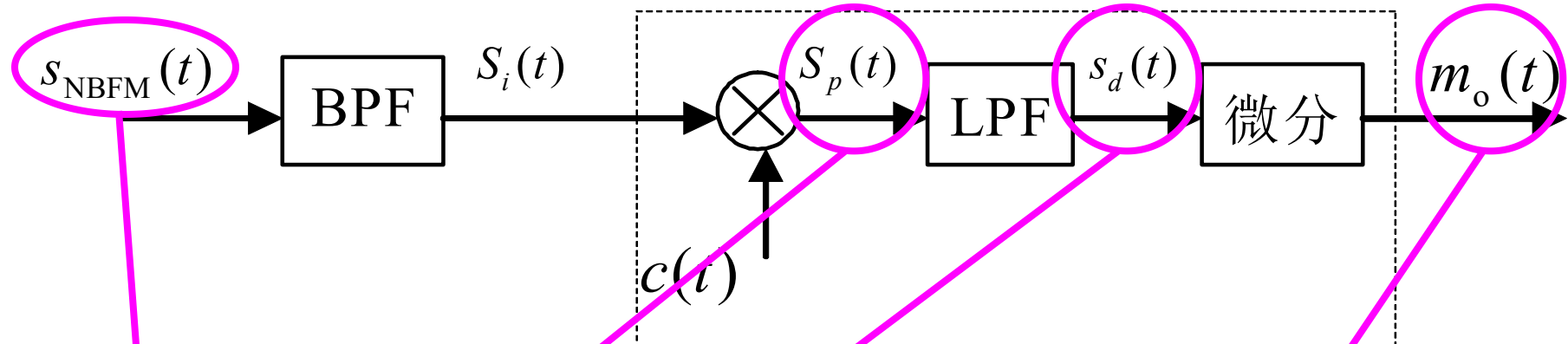
$$s_{FM}(t) = A \cos \left[\omega_c t + 2\pi K_f \int_{-\infty}^t m(\tau) d\tau \right]$$

$$s_d(t) = -A[\omega_c + 2\pi K_f m(t)] \sin [\omega_c t + 2\pi K_f \int_{-\infty}^t m(\tau) d\tau]$$

包络检波器提取出 $s_d(t)$ 的包络，再经隔直与LPF得，

$$m_o(t) = 2\pi A K_d K_f m(t) \propto m(t)$$

2) 相干解调 (仅适用于NBFM信号)



$$s_{\text{NBFM}}(t) = A \cos(\omega_c t) - A [2\pi K_f \int_{-\infty}^t m(\tau) d\tau] \cdot \sin(\omega_c t)$$

设相干载波 $c(t) = -\sin(\omega_c t)$

$$s_p(t) = -\frac{A}{2} \sin(2\omega_c t) + \frac{A}{2} \left[2\pi K_f \int_{-\infty}^t m(\tau) d\tau \right] (1 - \cos(2\omega_c t))$$

$$s_d(t) = \pi A K_f \int_{-\infty}^t m(\tau) d\tau$$

$$m_o(t) = \pi A K_f m(t) \propto m(t)$$

总 结

1. $m_f \ll 1$ 为窄带角调制， m_f 变大时为宽带角调制；
2. 卡森公式估算的带宽，包括了信号约98%的功率；
3. 载波的强度由 $J_0(m_f)$ 决定，选择合适的 m_f ，可使载波功率减小或为零；
4. $m(t)$ 为单一频率，由它产生的 FM 或 PM 信号包含无穷多个边频分量，产生了新的频率分量，该调制为非线性调制。

第5章 模拟调制系统

核心内容----模拟信号的调制、解调

5.1 幅度调制（线性调制）的原理

5.2 角度调制（非线性调制）原理

<-- 5.3 各种模拟调制系统的比较 -->

5.4 频分复用

5.3 各种模拟调制系统的比较

模拟通信系统的主要性能指标：

- { * 有效性 用有效传输带宽来度量
- * 可靠性 用接收端最终输出信噪比来度量

各类通信系统的比较

比较前提：

- ①接收信号平均功率 S_i 相同；
- ②信道噪声功率谱密度 n_0 相同；
- ③同一基带信号，带宽为 f_m 。

调制方式	传输带宽	S_o/N_o	设备复杂程度	主要应用
AM	$2f_m$	$\left(\frac{S_o}{N_o}\right)_{AM} = \frac{1}{3} \left(\frac{S_i}{n_0 f_m}\right)$	简单	中短波无线广播
DSB	$2f_m$	$\left(\frac{S_o}{N_o}\right)_{DSB} = \left(\frac{S_i}{n_0 f_m}\right)$	中等	应用较少
SSB	f_m	$\left(\frac{S_o}{N_o}\right)_{SSB} = \left(\frac{S_i}{n_0 f_m}\right)$	复杂	短波无线电广播、话音频分复用、载波通信、数据传输
VSB	略大于 f_m	近似 SSB	复杂	电视广播、数据传输
FM	$2(m_f + 1)f_m$	$\left(\frac{S_o}{N_o}\right)_{FM} = \frac{3}{2} m_f^2 \left(\frac{S_i}{n_0 f_m}\right)$	中等	超短波小功率电台(窄带 FM); 调频立体声广播等高质量通信(宽带 FM)

第5章 模拟调制系统

核心内容----模拟信号的调制、解调

5.1 幅度调制（线性调制）的原理

5.2 角度调制（非线性调制）原理

5.3 各种模拟调制系统的比较

5.4 频分复用

5.4 频分复用和调频立体声

5.4.1 频分复用

1. 复用的概念和分类

多路复用: 将多路消息信号合并为一个复合的群信号，共同在一条信道上进行通信。

- ◆ 时分多路复用 (**TDM**)

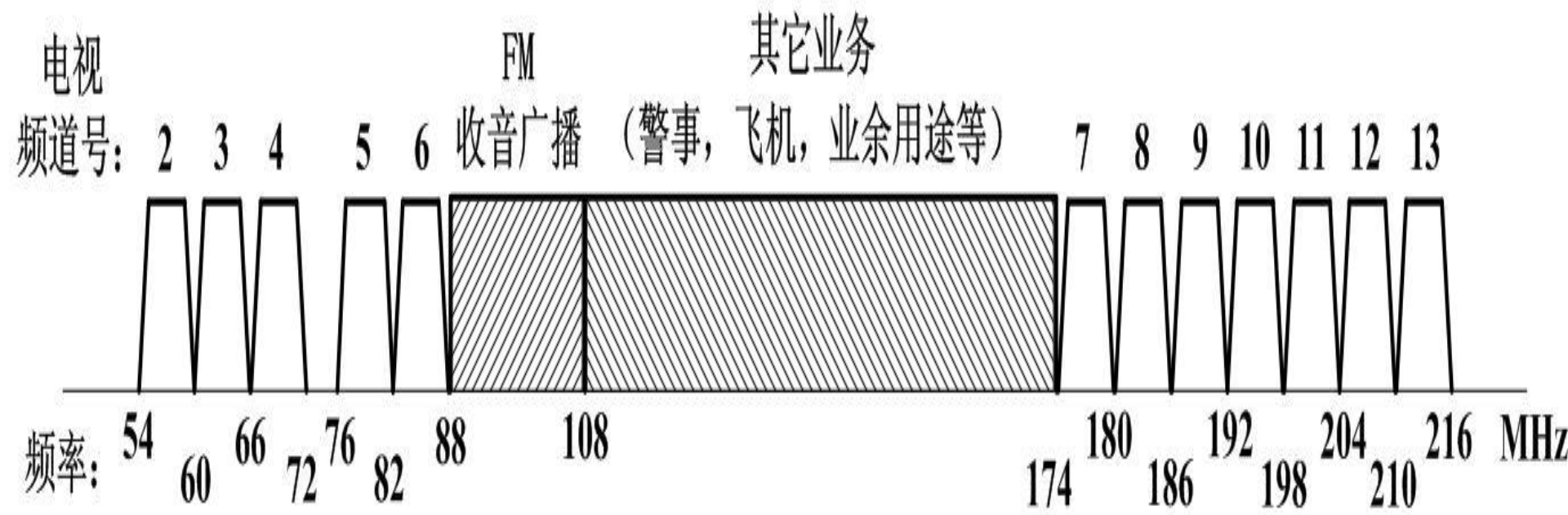
- ◆ 码分多路复用 (**CDM**)

- ◆ 频分多路复用 (**FDM**)

频分复用 (FDM) —— 多个信号错开频率位置共用频带的方法



下图是多个电视频道、调频收音机广播以及其它无线电应用共用**54-216MHz**这段频带的示例：

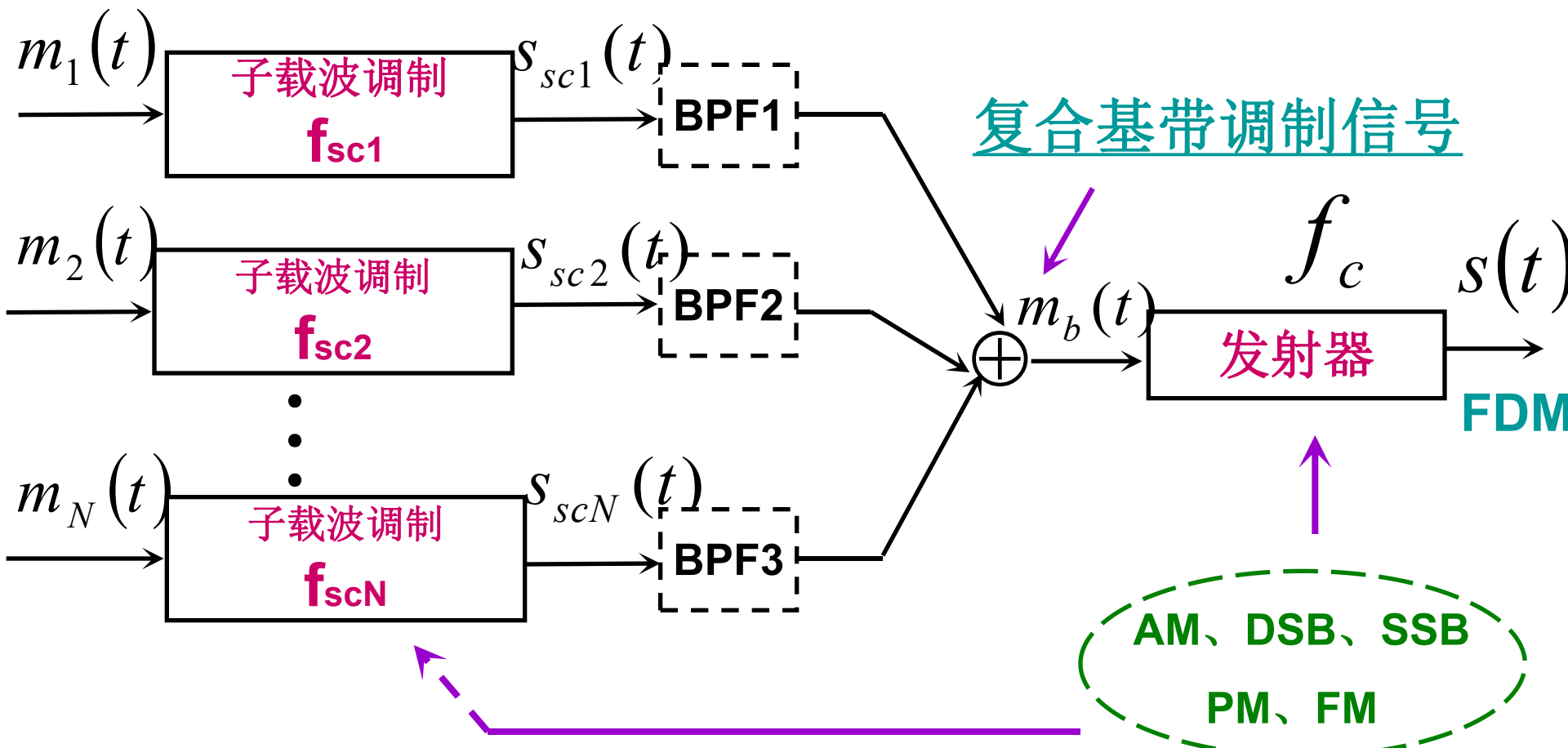


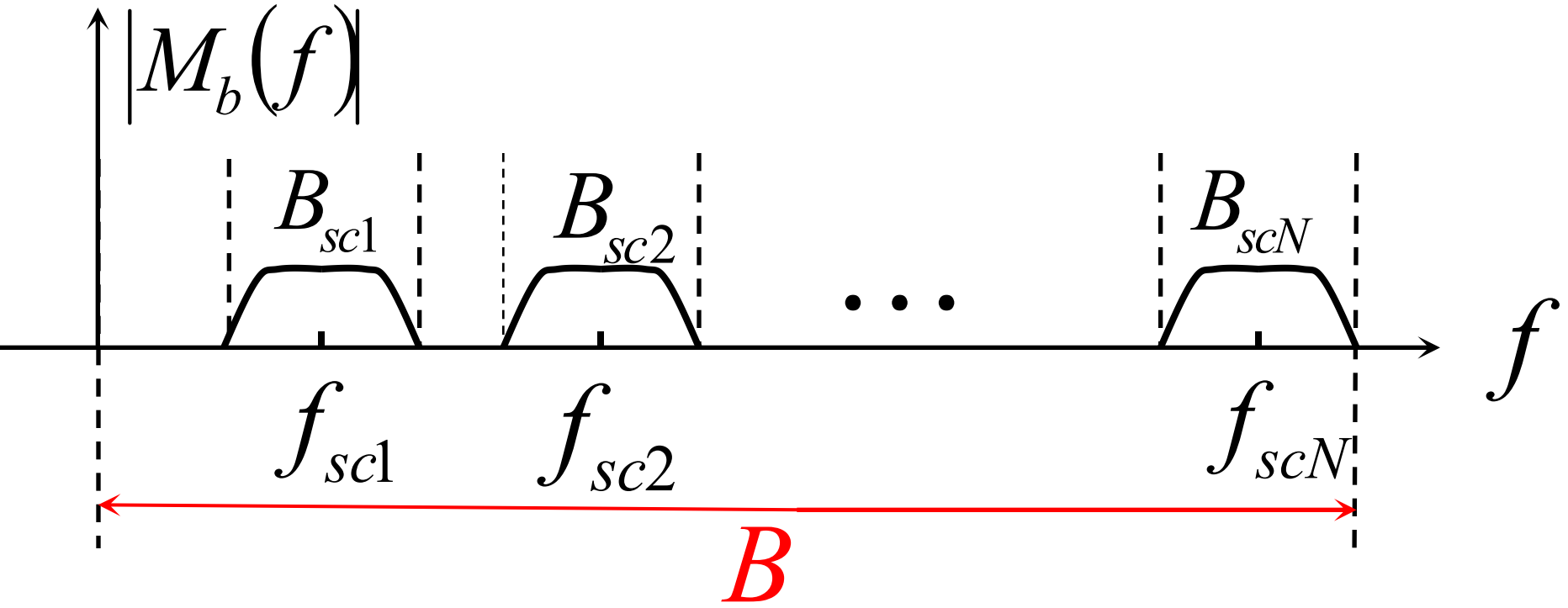
例 54~216MHz的FDM示意图

FDM也大量用在**有线信道内**：在电线或电缆内实行FDM即可让多个通信信号共享这条电线或电缆。

2. FDM的实现

(1) 发射





(2) 接收

